# 河川本流の水温変化に関する影響予測、 回避・低減措置、モニタリング等について

#### <本資料に記載の項目>

「今後の主な対話項目」(2024年2月5日 静岡県)抜粋

- Ⅱ 生物多様性編
  - 5 大井川本流の水質・水温の変化による底生生物等への影響
  - (2) 水温について、生物への影響が懸念されない、安全な管理基準値の設定
  - (3) 底生生物等への影響の回避・低減措置と、その有効性の検証及び、仮に対応が不十分 な場合の追加措置

2025年8月 東海旅客鉄道株式会社

# 目 次

(1)	はじめに	1
(2)	放流されるトンネル湧水温の推定について	4
1)	トンネル土被りに応じたトンネル湧水温の推定	. 4
2)	各ヤードから放流される推定トンネル湧水温	. 6
(3)	トンネル湧水を河川へ放流することに伴う河川水温の推定について	1 1
(4)	放流後河川流下方向の水温変化の推定について	1 6
1)	推定の概要について	1 6
2)	推定結果について	1 7
(5)	水温変化に伴う水生生物への影響予測	2 2
(6)	対応の基本的な考え方	2 3
(7)	低減措置について	2 3
(8)	モニタリングとリスク対応について	2 5
1)	モニタリングについて	2 5
2)	モニタリング結果を踏まえた対応(リスク対応)について	2 5
(巻末資料	↓1) トンネル湧水を河川へ放流することに伴う河川水温の推定に用いたパラメータ	2 9
(巻末資料	↑2) 放流後河川流下方向の水温変化の推定に用いたパラメータ	3 3

#### (1) はじめに

- ・トンネル内に生じたトンネル湧水を河川へ放流する際、トンネル湧水と放流先の河川 の水温が異なることが想定されることから、河川水温の変化に伴う水生生物への影響 が懸念されています。
- ・そこでまずは、次のステップ1~ステップ3に従い、トンネル湧水を河川へ放流する ことによる河川水温の変化を推定しました。なお、推定する対象は、表 1に示す4つ の場面、場所としました。

ステップ1:放流されるトンネル湧水の量とトンネル掘削の影響を考慮した河川流量 の推定(推定方法等について、2025年2月13日の第15回生物多様性専 門部会にて整理済、資料2-1 河川本流の流量減少の推定について参照)

ステップ 2: 放流されるトンネル湧水の水温の推定(推定方法等について、2024年11月1日の第14回生物多様性専門部会にて整理済)

ステップ3:ステップ1、2の結果を用いた、トンネル湧水を河川へ放流することに伴 う河川水温、影響範囲の推定

#### 表 1 河川水温の変化を推定する対象

	対象	備考
1	トンネル掘削完了後恒常時の椹島での推定	トンネル掘削完了後恒常的にトンネル湧 水を河川へ放流することになるため
2	西俣からのトンネル湧水放流量が最大になる時期における 西俣ヤード下流での推定	当該ヤード下流でのワーストケースであ るため
3	千石からのトンネル湧水放流量が最大になる時期における 千石ヤード下流での推定	当該ヤード下流でのワーストケースであ るため
4	椹島からのトンネル湧水放流量が最大になる時期における 椹島ヤード下流での推定	当該ヤード下流でのワーストケースであ るため

・また、推定結果を踏まえ検討した、水生生物への影響予測、回避・低減措置、モニタリング等について、報告します。

#### (参考) 各ヤードからのトンネル湧水放流量が最大となる時期のトンネル掘削状況

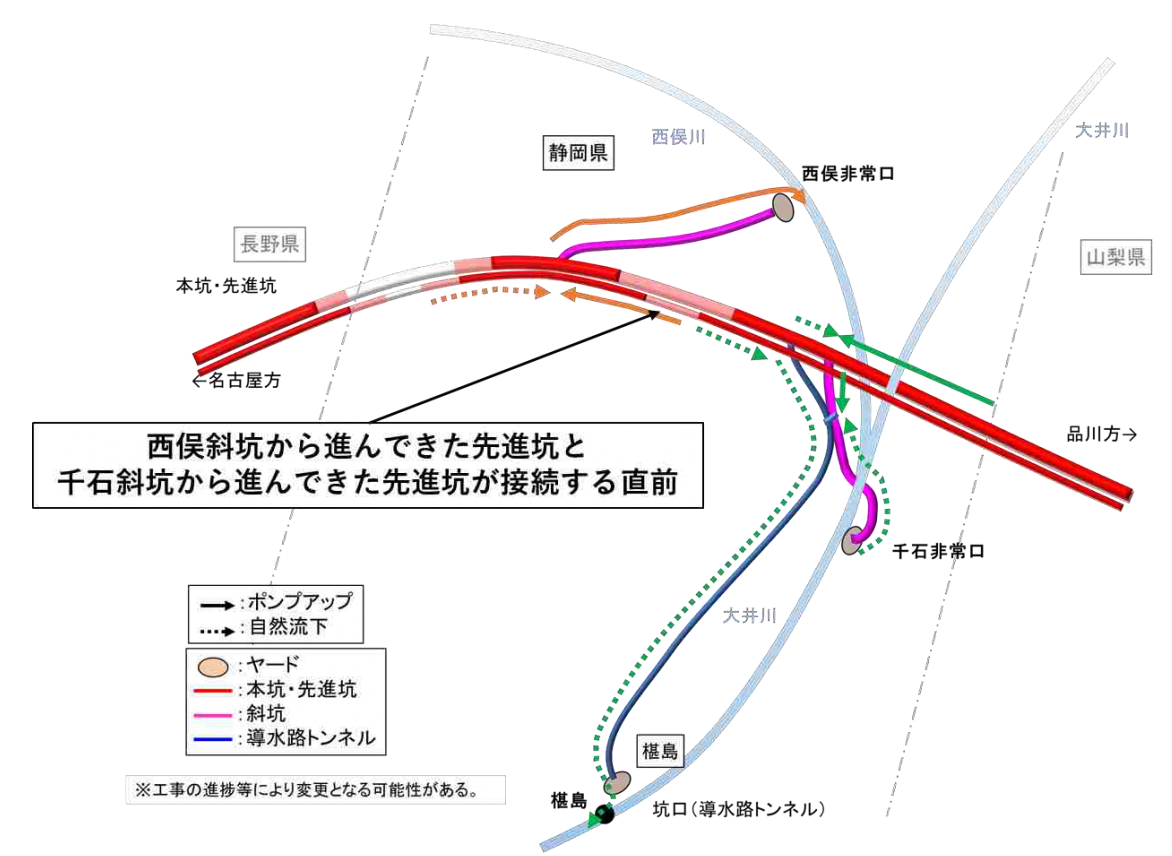


図 1 西俣での放流量が最大となる時期のトンネル掘削状況 (イメージ)

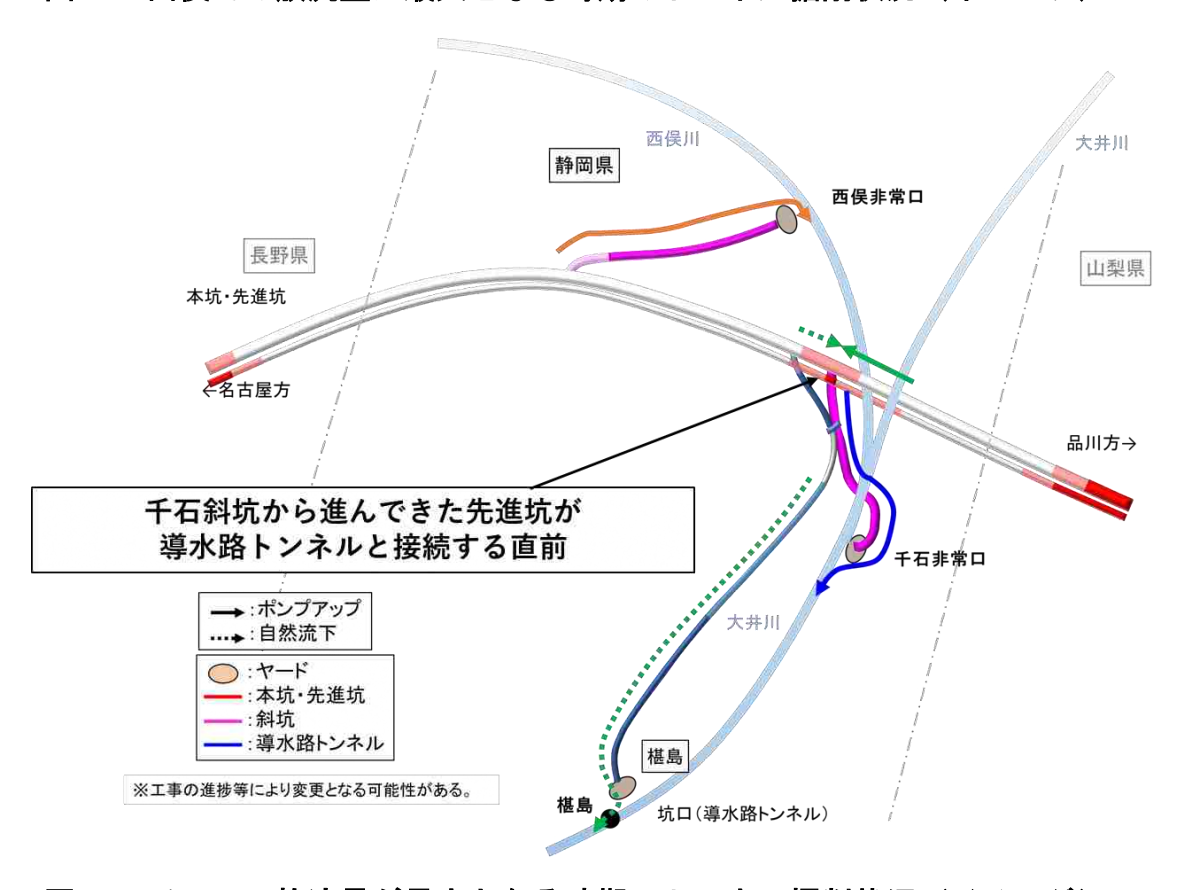


図 2 千石での放流量が最大となる時期のトンネル掘削状況 (イメージ)

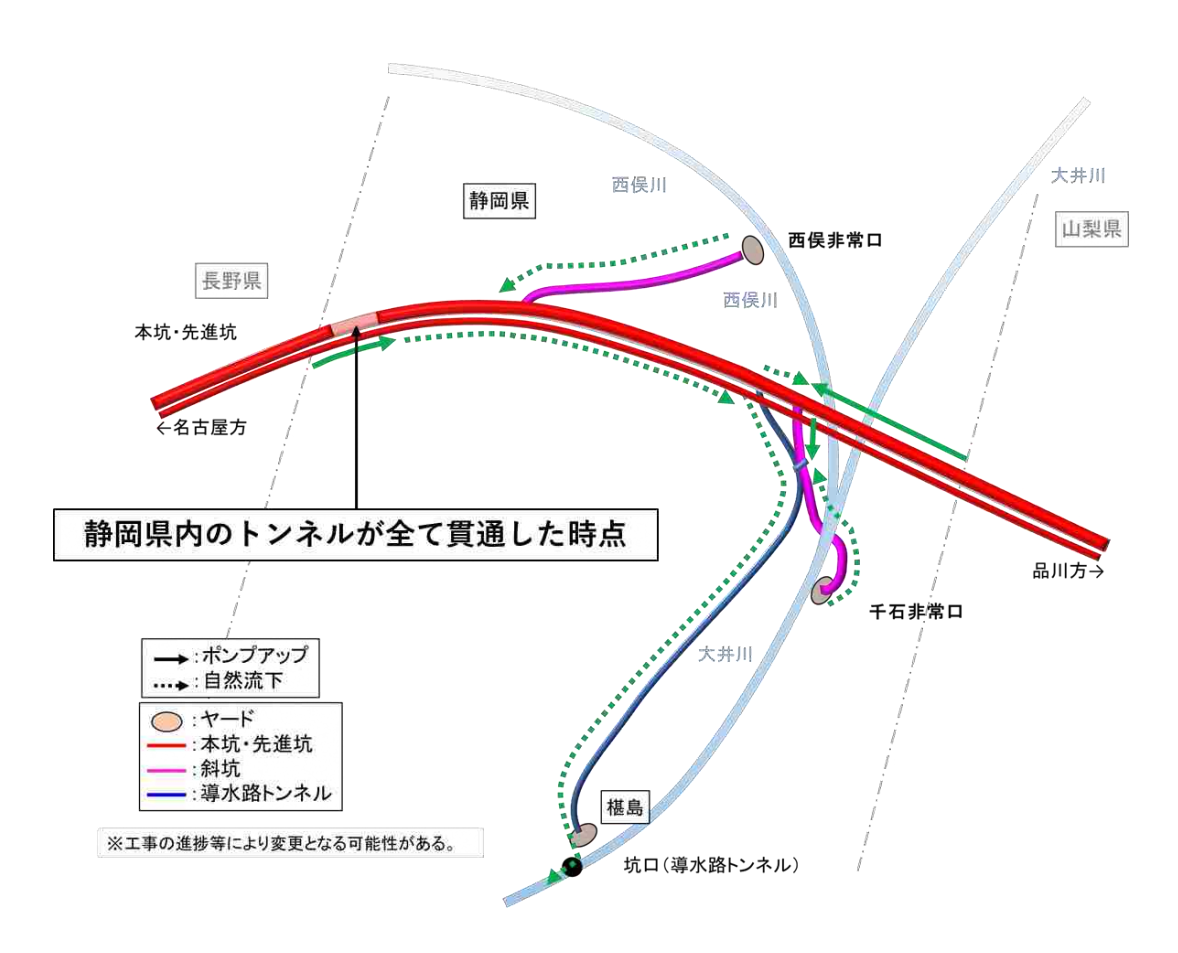


図 3 椹島での放流量が最大となる時期のトンネル掘削状況 (イメージ)

#### (2) 放流されるトンネル湧水温の推定について

#### 1) トンネル土被りに応じたトンネル湧水温の推定

- ・河川水温変化の推定に用いるトンネル湧水の水温については、地下深部ほど地下水の水温が高くなることを踏まえ、2024年11月1日の第14回生物多様性専門部会にて整理した通り、各トンネルの土被りに応じて推定しました。
- ・具体的には、過去に南アルプストンネル (山梨工区) で実施したボーリング調査で得られた水温データに基づき、推定にあたり基準となる土被り約800mでの水温と、更に土被りが厚くなる箇所等その他の深さの水温を推定するための地温勾配を検討し、表2の通り整理しました。
- ・なお、第 14 回生物多様性専門部会の中で委員から頂いた、日本列島の一般的な地温勾配である 100m 深くなるにつれて  $2\mathbb{C} \sim 3\mathbb{C}$ 上昇するという地温勾配 $^2$ も検討ケースとして追加した方が良いというご意見を踏まえ、今回、山梨工区の実績から設定した地温勾配より更に地下深部の水温が高く設定される、地温勾配を  $3\mathbb{C}/100m$  としたケース(想定地温勾配最高ケース)も追加しました。

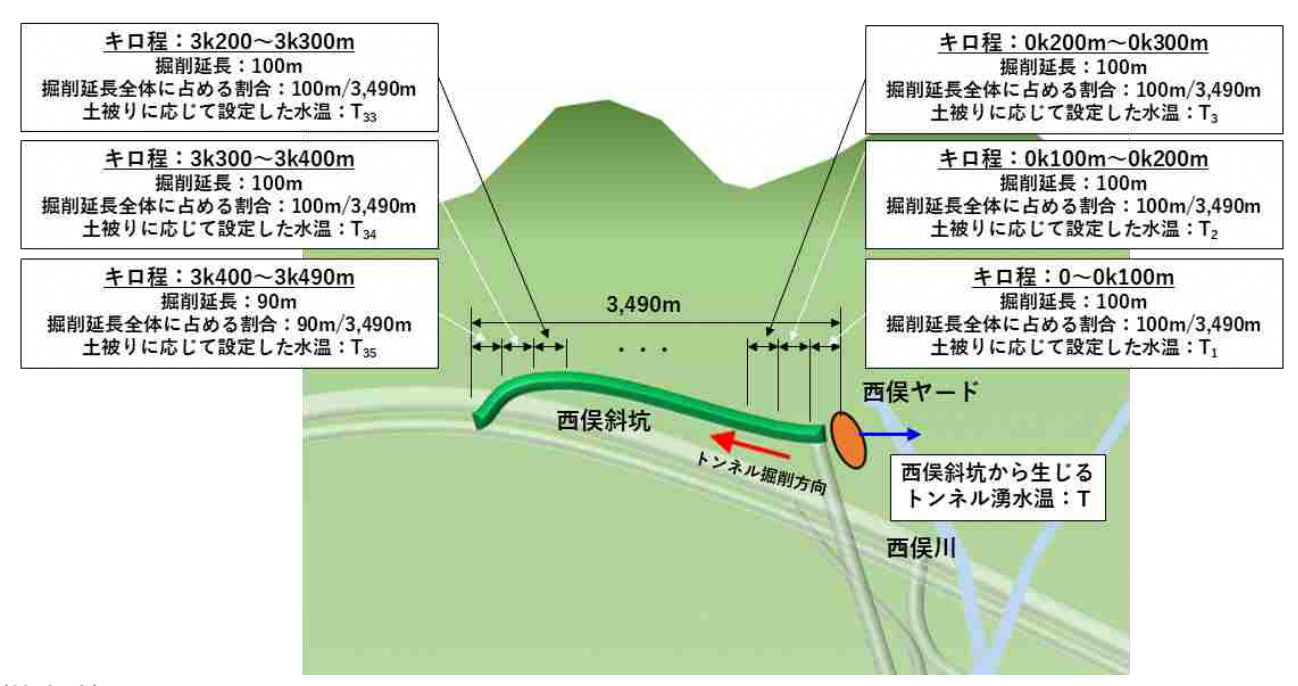
<sup>1</sup> 基準となる土被り約 800mでの水温は、実測の平均値である 22.2<sup> $\mathbb{C}$ </sup> (平均水温ケース)、計測結果の ばらつきを考慮し、平均水温+ $3\sigma$ の 23.8<sup> $\mathbb{C}$ </sup> (最高水温ケース)、平均水温 $-3\sigma$ の 20.6<sup> $\mathbb{C}$ </sup> (最低水温 ケース) の 3 ケースを想定しました。また、地温勾配は $\pm 0.95$   $\mathbb{C}/100$ m としました。

<sup>2 「</sup>現在の掘削技術で掘り進むことのできる深さ、すなわち、およそ 10,000m を超える深さまでの平均地温勾配は約 2.5-3C/100m」(地熱エネルギー入門【第 2 版】、Mary H.Dickson,Mario Fanelli 著、日本地熱学会 IGA 専門部会訳・編、2008 年 8 月)

# 表 2 南アルプストンネル(山梨工区)での実測等に基づく土被りに応じた推定水温

土被り (m)	平均水温ケース (°C) 地温勾配± 0.95 °C/100 m	最高水温ケース(℃) 地温勾配± 0.95 ℃/100 m	最低水温ケース(°C) 地温勾配± 0.95 °C/100 m	想定地温勾配最高ケース (°C) 地温勾配+3°C/100 m	
100未満	15.6	17.2	14.0	15.6	
100m以上200未満	16.5	18.1	14.9	16.5	
200m以上300m未満	17.5	19.1	15.9	17.5	平均水温
300m以上400m未満	18.4	20.0	16.8	18.4	
400m以上500m未満	19.4	21.0	17.8	19.4	
500m以上600m未満	20.3	21.9	18.7	20.3	
600m以上700m未満	21.3	22.9	19.7	21.3	t
700m以上800m未満	22.2	23.8	20.6	22.2	
800m以上900m未満	23.2	24.8	21.6	25.2	
900m以上1000m未満	24.1	25.7	22.5	28.2	
1000m以上1100m未満	25.1	26.7	23.5	31.2	地温勾配 +3 ℃/100 m
1100m以上1200m未満	26.0	27.6	24.4	34.2	
1200m以上1300未満	27.0	28.6	25.4	37.2	
1300m以上	27.9	29.5	26.3	40.2	

- ・各トンネルから放流されるトンネル湧水の水温については、第 14 回生物多様性専門部会で整理された通り、土被りに応じた想定水温に掘削延長全体に占める当該範囲の掘削延長の割合を乗じ、その結果を合計することで算出しました。
- ・具体的には、トンネル延長 100m 間隔 (本坑・先進坑は 200m 間隔) で土被りを整理し、 それぞれの土被りに応じた想定水温と掘削延長全体に占める当該範囲の掘削延長の割 合を考慮し、その結果を合計することで算出しました (図 4)。



#### (算出式)

 $\mathsf{T} = \mathsf{T}_1 \times \ (100/3490) \ + \mathsf{T}_2 \times \ (100/3490) \ + \mathsf{T}_3 \times \ (100/3490) \ + \cdots + \mathsf{T}_{33} \times \ (100/3490) \ + \mathsf{T}_{34} \times \ (100/3490) \ + \mathsf{T}_{35} \times \ (90/3490)$ 

#### 図 4 各トンネルから放流される水温の計算イメージ(西俣斜坑例)

#### 2) 各ヤードから放流される推定トンネル湧水温

・1)の通り、各ヤードから放流されるトンネル湧水温を推定した結果を、検討対象別 (①トンネル掘削完了後恒常時の椹島、②西俣からのトンネル湧水放流量が最大になる時期における西俣ヤード下流、③千石からのトンネル湧水放流量が最大になる時期における千石ヤード下流、④椹島からのトンネル湧水放流量が最大になる時期における椹島ヤード下流)、想定水温ケース別(平均水温ケース、最高水温ケース、最低水温ケース、想定地温勾配最高ケース)、モデル別(JR 東海モデル、静岡市モデル(薬液注入なし)、静岡市モデル(薬液注入あり))に表 3~表 6に示します。

## 表 3 放流されるトンネル湧水温の推定結果【トンネル掘削完了後恒常時/推定地点:椹島】

【トンネル掘削完了後恒常時の椹島での 推定結果】		平均水温ケース (°C) 地温勾配± 0.95°C/100 m	最高水温ケース (°C) 地温勾配± 0.95°C/100 m	最低水温ケース (℃) 地温勾配± 0.95℃/100 m	想定地温勾配最高 ケース(℃) <sup>地温勾配±3℃/100 m</sup>	(参考) トンネル湧水量 (恒常時年平均) (m3/s)
	本坑・先進坑	23.0	24.6	21.4	26.7	2.2
ロ本海エギョ	西俣斜坑	21.3	22.9	19.7	23.4	0.1
JR東海モデル (薬注なし)	千石斜坑	17.7	19.3	16.1	17.7	0.1
	導水路トンネル	18.9	20.5	17.3	18.9	0.7
	<b>椹島での放流温度</b> <sup>※1</sup>	21.9	23.5	20.3	24.5	_
	本坑・先進坑	23.0	24.6	21.4	26.7	1.1
	西俣斜坑	21.3	22.9	19.7	23.4	0.5
静岡市モデル (薬注なし)	千石斜坑	17.7	19.3	16.1	17.7	0.1
()(, = 0, 0)	導水路トンネル	18.9	20.5	17.3	18.9	0.2
	<b>椹島での放流温度<sup>※1</sup></b>	22.0	23.6	20.4	24.8	_
	本坑・先進坑	23.0	24.6	21.4	26.7	0.3
	西俣斜坑	21.3	22.9	19.7	23.4	0.1
静岡市モデル (薬注あり)	千石斜坑	17.7	19.3	16.1	17.7	0.1
( <b>*/1</b> 07)	導水路トンネル	18.9	20.5	17.3	18.9	0.04
	<b>椹島での放流温度</b> <sup>※1</sup>	21.5	23.1	19.9	24.1	_

※1:各トンネルの推定水温、湧水量に基づき完全混合式で算出

※2:JR東海モデルは、断層が存在すると考えられるブロックを一括りに大きな透水係数に設定しており、また静岡市モデルは斜坑や工事用道路トンネルが実際のトンネルサイズよりも10倍以上 大きく設定している。静岡市モデルと比較し、JR東海モデルの方がトンネル湧水量や河川流量の減少量が大きいのは、断層が存在すると考えられるブロックを一括りに大きな透水係数に設 定しているためであると考えらえれる。今後、予測の見直しを実施する際には、トンネルサイズを適正化したモデルを活用し、高速長尺先進ボーリング等により把握した断層に関する情報 を反映させることを考えている。

## 表 4 放流されるトンネル湧水温の推定結果【西俣からの放流量最大/推定地点:西俣】

	【西俣での放流量が最大となる時期 における西俣での推定結果】		最高水温ケース (°C) 地温勾配± 0.95°C/100 m	最低水温ケース (°C) 地温勾配± 0.95°C/100 m	想定地温勾配最高 ケース (°C) <sup>地温勾配±3°C/100 m</sup>	(参考) トンネル湧水量 (西俣での放流量が 最大時) (m3/s)
	先進坑	24.6	26.2	23.0	29.9	0.3
JR東海モデル	本坑	24.6	26.2	23.0	29.8	0.2
(薬注なし)	西俣斜坑	21.3	22.9	19.7	23.4	0.2
	西俣での放流温度 <sup>※1</sup>	23.8	25.4	22.2	28.2	_
	先進坑	24.6	26.2	23.0	29.9	0.01
静岡市モデル	本坑	24.6	26.2	23.0	29.8	0.00
(薬注なし)	西俣斜坑	21.3	22.9	19.7	23.4	0.49
	西俣での放流温度 <sup>※1</sup>	21.4	23.0	19.8	23.5	_
	先進坑	24.6	26.2	23.0	29.9	0.01
静岡市モデル	本坑	24.6	26.2	23.0	29.8	0.00
(薬注あり)	西俣斜坑	21.3	22.9	19.7	23.4	0.10
	西俣での放流温度 <sup>※1</sup>	21.6	23.2	20.0	24.1	_

※1:各トンネルの推定水温、湧水量に基づき完全混合式で算出

※2:R東海モデルは、断層が存在すると考えられるブロックを一括りに大きな透水係数に設定しており、また静岡市モデルは斜坑や工事用道路トンネルが実際のトンネルサイズよりも10倍以上 大きく設定している。静岡市モデルと比較し、JR東海モデルの方がトンネル湧水量や河川流量の減少量が大きいのは、断層が存在すると考えられるブロックを一括りに大きな透水係数に設 定しているためであると考えらえれる。今後、予測の見直しを実施する際には、トンネルサイズを適正化したモデルを活用し、高速長尺先進ボーリング等により把握した断層に関する情報 を反映させることを考えている。

## 表 5 放流されるトンネル湧水温の推定結果【千石からの放流量最大/推定地点:千石】

【千石での放流量が最大となる時期 における千石での推定結果】		平均水温ケース (°C) 地温勾配± 0.95°C/100 m	最高水温ケース (°C) 地温勾配± 0.95°C/100 m	最低水温ケース (°C) 地温勾配± 0.95°C/100 m	想定地温勾配最高 ケース (°C) 地温勾配±3°C/100 m	(参考) トンネル湧水量 (千石での放流量が 最大時) (m3/s)
	先進坑	19.3	20.9	17.7	19.3	0.21
	本坑	19.2	20.8	17.6	19.2	0.12
JR東海モデル	千石斜坑	17.7	19.3	16.1	17.7	0.08
(薬注なし)	導水路トンネル	21.2	22.8	19.6	21.3	0.22
	工事用道路トンネル	17.0	18.6	15.4	17.0	0.01
	千石での放流温度 <sup>※1</sup>	19.7	21.3	18.1	19.7	_
	先進坑	19.3	20.9	17.7	19.3	0.01
	本坑	19.2	20.8	17.6	19.2	0.02
静岡市モデル	千石斜坑	17.7	19.3	16.1	17.7	0.18
(薬注なし)	導水路トンネル	21.2	22.8	19.6	21.3	0.01
	工事用道路トンネル	17.0	18.6	15.4	17.0	0.28
	千石での放流温度 <sup>※1</sup>	17.5	19.1	15.9	17.5	_
	先進坑	19.3	20.9	17.7	19.3	0.002
	本坑	19.2	20.8	17.6	19.2	0.000
静岡市モデル	千石斜坑	17.7	19.3	16.1	17.7	0.113
(薬注あり)	導水路トンネル	21.2	22.8	19.6	21.3	0.005
	工事用道路トンネル	17.0	18.6	15.4	17.0	0.066
	千石での放流温度 <sup>※1</sup>	17.6	19.2	16.0	17.6	_

<sup>※1:</sup>各トンネルの推定水温、湧水量に基づき完全混合式で算出

<sup>※2:</sup>JR東海モデルは、断層が存在すると考えられるブロックを一括りに大きな透水係数に設定しており、また静岡市モデルは斜坑や工事用道路トンネルが実際のトンネルサイズよりも10倍以上 大きく設定している。静岡市モデルと比較し、JR東海モデルの方がトンネル湧水量や河川流量の減少量が大きいのは、断層が存在すると考えられるブロックを一括りに大きな透水係数に設 定しているためであると考えらえれる。今後、予測の見直しを実施する際には、トンネルサイズを適正化したモデルを活用し、高速長尺先進ボーリング等により把握した断層に関する情報 を反映させることを考えている。

## 表 6 放流されるトンネル湧水温の推定結果【椹島からの放流量最大/推定地点:椹島】

	【椹島での放流量が最大となる時期 における椹島での推定結果】		最高水温ケース (°C) 地温勾配± 0.95°C/100 m	最低水温ケース (°C) 地温勾配± 0.95°C/100 m	想定地温勾配最高 ケース (°C) 地温勾配±3°C/100 m	(参考) トンネル湧水量 (椹島での放流量が 最大時) (m3/s)
	本坑・先進坑	23.0	24.6	21.4	26.7	2.5
ロ本とエディ	西俣斜坑	21.3	22.9	19.7	23.4	0.1
JR東海モデル (薬注なし)	千石斜坑	17.7	19.3	16.1	17.7	0.1
	導水路トンネル	18.9	20.5	17.3	18.9	0.7
	<b>椹島での放流温度<sup>※1</sup></b>	21.9	23.5	20.3	24.7	_
	本坑・先進坑	23.0	24.6	21.4	26.7	1.1
	西俣斜坑	21.3	22.9	19.7	23.4	0.5
静岡市モデル (薬注なし)	千石斜坑	17.7	19.3	16.1	17.7	0.1
(XX-0-0)	導水路トンネル	18.9	20.5	17.3	18.9	0.2
	<b>椹島での放流温度<sup>※1</sup></b>	22.0	23.6	20.4	24.7	_
	本坑・先進坑	23.0	24.6	21.4	26.7	0.33
	西俣斜坑	21.3	22.9	19.7	23.4	0.10
静岡市モデル (薬注あり)	千石斜坑	17.7	19.3	16.1	17.7	0.10
( <b>*/1 / / /</b>	導水路トンネル	18.9	20.5	17.3	18.9	0.04
	<b>椹島での放流温度</b> ※1	21.5	23.1	19.9	24.1	_

※1:各トンネルの推定水温、湧水量に基づき完全混合式で算出

<sup>※2:</sup>JR東海モデルは、断層が存在すると考えられるブロックを一括りに大きな透水係数に設定しており、また静岡市モデルは斜坑や工事用道路トンネルが実際のトンネルサイズよりも10倍以上 大きく設定している。静岡市モデルと比較し、JR東海モデルの方がトンネル湧水量や河川流量の減少量が大きいのは、断層が存在すると考えられるブロックを一括りに大きな透水係数に設 定しているためであると考えらえれる。今後、予測の見直しを実施する際には、トンネルサイズを適正化したモデルを活用し、高速長尺先進ボーリング等により把握した断層に関する情報 を反映させることを考えている。

#### (3) トンネル湧水を河川へ放流することに伴う河川水温の推定について

・「資料2-1 河川本流の流量減少の推定について」で整理したトンネル湧水量、トンネル掘削を考慮した河川流量、(2)で整理した推定トンネル湧水温を使用し、下記完全混合式を用いて、トンネル湧水を河川へ放流した際の河川水温を推定しました。

$$T = \frac{T_1 Q_1 + T_2 Q_2}{Q_1 + Q_2}$$

T:完全混合と仮定した時の河川の水温(°C)

 $T_1$ :トンネル湧水合流直前の河川水温( $^{\circ}$ )  $Q_1$ :トンネル湧水合流直前の河川流量( $m^3$ /秒)  $T_2$ :トンネル湧水等の水温( $^{\circ}$ )  $Q_2$ :トンネル湧水等の水量( $m^3$ /秒)

- ・推定結果した結果を、検討対象別(①トンネル掘削完了後恒常時の椹島、②西俣からのトンネル湧水放流量が最大になる時期における西俣ヤード下流、③千石からのトンネル湧水放流量が最大になる時期における千石ヤード下流、④椹島からのトンネル湧水放流量が最大になる時期における椹島ヤード下流)、想定水温ケース別(平均水温ケース、最高水温ケース、最低水温ケース、想定地温勾配最高ケース)、モデル別(JR 東海モデル、静岡市モデル(薬液注入なし)、静岡市モデル(薬液注入あり))に表 7~表10に示します(推定の前提条件については、巻末資料1参照)。
- ・河川水温の上昇については、モデルの違い(JR 東海モデル、静岡市モデル(薬液注入なし)、静岡市モデル(薬液注入あり))によって大きな差が生じる結果となりました。
- ・その主な要因は、各モデルで想定されるトンネル湧水量の差であると考えられ、特に 静岡市モデル(薬注あり)では、解析上、薬液注入の効果を考慮したことによってトン ネル湧水量が少なくなり、河川水温の上昇が限定的になる結果となっています。この ことは、トンネル湧水量を低減させる薬液注入が、河川や沢の流量減少への対策のみ ならず、河川本流の水温上昇への対策としても有効であることを示唆していると考え られます。
- ・なお、JR 東海モデルは、断層が存在すると考えられるブロックを一括りに大きな透水 係数に設定しており、また静岡市モデルは斜坑や工事用道路トンネルが実際のトンネ ルサイズよりも10倍以上大きく設定しています。今後、トンネル掘削前、掘削中に実 施する高速長尺先進ボーリング等の地質調査の結果を踏まえ、断層の位置が異なる、 幅が広い、透水係数が解析の前提条件より大きい等の場合には、解析の見直しを行い ます。見直しにあたっては、沢の流量減少への影響予測で活用しているトンネルサイ ズが適正化された上流域モデル<sup>3</sup>を用いて実施することを考えています。

<sup>&</sup>lt;sup>3</sup> 国土交通省 リニア中央新幹線静岡工区有識者会議(環境保全)において、大井川上流域の沢の影響分析という目的のもと、新たに作成した GETFLOWS による解析モデル

## 表 7 トンネル湧水を河川へ放流することに伴う河川水温の推定結果【トンネル掘削完了後恒常時/推定地点:椹島】

【トンネル技	展削完了後恒常時の椹島での 推定結果】	時期区分① 1月~3月 (渇水期・積雪期)	時期区分② 4月~6月上旬 (雪解け期)	時期区分③ 6月中旬~7月中旬 (梅雨期)	時期区分④ 7月下旬~8月下旬 (夏季小降水期)	時期区分5 9月~10月 (台風時期)	時期区分⑥ 11月~12月 (冬季乾燥期)
	平均水温ケース(°C)	17.2	15.0	15.8	19.4	19.1	16.4
JR東海モデル	最高水温ケース(℃)	18.4	15.7	16.5	20.5	20.3	17.5
(薬注なし)	最低水温ケース(°C)	16.0	14.2	15.0	18.4	18.0	15.4
	想定地温勾配最高ケース(°C)	19.2	16.2	17.0	21.1	21.0	18.2
	平均水温ケース(℃)	13.8	13.2	14.2	18.3	17.5	13.6
静岡市モデル	最高水温ケース(℃)	14.7	13.7	14.7	19.1	18.4	14.4
(薬注なし)	最低水温ケース(℃)	12.9	12.6	13.7	17.5	16.6	12.8
	想定地温勾配最高ケース(°C)	15.4	14.1	15.1	19.7	19.0	15.0
	平均水温ケース(℃)	7.3	10.5	11.8	16.2	14.3	8.6
静岡市モデル	最高水温ケース(℃)	7.7	10.6	12.0	16.5	14.7	9.0
(薬注あり)	最低水温ケース(℃)	6.9	10.3	11.6	15.9	13.9	8.3
	想定地温勾配最高ケース(°C)	8.0	10.8	12.1	16.7	14.9	9.1
(参	考)河川水温(°C) <sup>※1</sup>	2.6**2	9.0	10.5	14.9	12.2	5.4

<sup>※1: 2024</sup>年の椹島での実測値の平均値(1時間に1回計測している計測結果の日平均値を時期区分毎の平均した値)

<sup>※2:2024</sup>年1月は欠測が多かったため、1月のデータは2018年~2024年に実施した月1回の計測結果の平均値を使用。

<sup>※3:</sup>JR東海モデルは、断層が存在すると考えられるブロックを一括りに大きな透水係数に設定しており、また静岡市モデルは斜坑や工事用道路トンネルが実際のトンネルサイズよりも10倍以上大きく設定している。静岡市モデルと比較し、JR東海モデルの方がトンネル湧水量や河川流量の減少量が大きいのは、断層が存在すると考えられるブロックを一括りに大きな透水係数に設定しているためであると考えらえれる。今後、予測の見直しを実施する際には、トンネルサイズを適正化したモデルを活用し、高速長尺先進ボーリング等により把握した断層に関する情報を反映させることを考えている。

## 表 8 トンネル湧水を河川へ放流することに伴う河川水温の推定結果【西俣からの放流量最大/推定地点:西俣】

	の放流量が最大となる時期 る西俣での推定結果】	時期区分① 1月~3月 (渇水期・積雪期)	時期区分② 4月~6月上旬 (雪解け期)	時期区分③ 6月中旬~7月中旬 (梅雨期)	時期区分④ 7月下旬~8月下旬 (夏季小降水期)	時期区分5 9月~10月 (台風時期)	時期区分⑥ 11月~12月 (冬季乾燥期)
	平均水温ケース(°C)	10.1	9.5	12.0	18.3	16.8	12.7
JR東海モデル	最高水温ケース(°C)	10.7	9.7	12.1	19.0	17.5	13.3
(薬注なし)	最低水温ケース(°C)	9.6	9.3	11.8	17.6	16.1	12.0
	想定地温勾配最高ケース(°C)	11.7	10.2	12.4	20.3	18.6	14.5
	平均水温ケース (°C)	8.4	8.7	11.4	16.5	14.9	9.9
静岡市モデル	最高水温ケース(°C)	8.8	8.8	11.5	17.1	15.4	10.3
(薬注なし)	最低水温ケース(°C)	7.9	8.5	11.3	16.0	14.4	9.4
	想定地温勾配最高ケース(°C)	9.0	8.9	11.6	17.3	15.6	10.5
	平均水温ケース (°C)	4.2	7.4	10.8	14.6	12.8	6.2
静岡市モデル	最高水温ケース(°C)	4.3	7.5	10.8	14.8	12.9	6.4
(薬注あり)	最低水温ケース(°C)	4.1	7.4	10.8	14.5	12.6	6.1
	想定地温勾配最高ケース(°C)	4.4	7.5	10.8	14.9	13.0	6.4
(参	考)河川水温(°C) <sup>※1</sup>	2.6	7.0	10.6	13.8	11.9	4.8

※1:2024年の西俣での実測値の平均値

<sup>※2:</sup>JR東海モデルは、断層が存在すると考えられるブロックを一括りに大きな透水係数に設定しており、また静岡市モデルは斜坑や工事用道路トンネルが実際のトンネルサイズよりも10倍以上 大きく設定している。静岡市モデルと比較し、JR東海モデルの方がトンネル湧水量や河川流量の減少量が大きいのは、断層が存在すると考えられるブロックを一括りに大きな透水係数に設定 しているためであると考えらえれる。今後、予測の見直しを実施する際には、トンネルサイズを適正化したモデルを活用し、高速長尺先進ポーリング等により把握した断層に関する情報を反 映させることを考えている。

## 表 9 トンネル湧水を河川へ放流することに伴う河川水温の推定結果【千石からの放流量最大/推定地点:千石】

	の放流量が最大となる時期 る千石での推定結果】	時期区分① 1月~3月 (渇水期・積雪期)	時期区分② 4月~6月上旬 (雪解け期)	時期区分③ 6月中旬~7月中旬 (梅雨期)	時期区分④ 7月下旬~8月下旬 (夏季小降水期)	時期区分5 9月~10月 (台風時期)	時期区分⑥ 11月~12月 (冬季乾燥期)
	平均水温ケース(°C)	7.4	8.4	10.9	13.9	12.7	7.7
JR東海モデル	最高水温ケース(°C)	7.8	8.6	10.9	14.1	13.0	8.0
(薬注なし)	最低水温ケース(°C)	7.0	8.3	10.8	13.8	12.5	7.4
	想定地温勾配最高ケース(°C)	7.4	8.5	10.9	13.9	12.8	7.7
	平均水温ケース(°C)	6.3	8.1	10.7	13.7	12.3	6.7
静岡市モデル	最高水温ケース(°C)	6.7	8.2	10.8	13.8	12.5	7.0
(薬注なし)	最低水温ケース(°C)	5.9	7.9	10.7	13.5	12.1	6.5
	想定地温勾配最高ケース(°C)	6.3	8.1	10.7	13.7	12.3	6.7
	平均水温ケース(°C)	4.1	7.5	10.6	13.5	11.9	5.5
静岡市モデル	最高水温ケース(°C)	4.2	7.5	10.6	13.5	11.9	5.6
(薬注あり)	最低水温ケース(°C)	3.9	7.4	10.5	13.4	11.8	5.4
	想定地温勾配最高ケース(°C)	4.1	7.5	10.6	13.5	11.9	5.5
(参	考)河川水温(℃) <sup>※1</sup>	2.8	7.1	10.5	13.3	11.6	4.8

※1:2024年の千石での実測値の平均値

<sup>※2:</sup>JR東海モデルは、断層が存在すると考えられるブロックを一括りに大きな透水係数に設定しており、また静岡市モデルは斜坑や工事用道路トンネルが実際のトンネルサイズよりも10倍以上 大きく設定している。静岡市モデルと比較し、JR東海モデルの方がトンネル湧水量や河川流量の減少量が大きいのは、断層が存在すると考えられるブロックを一括りに大きな透水係数に設定 しているためであると考えらえれる。今後、予測の見直しを実施する際には、トンネルサイズを適正化したモデルを活用し、高速長尺先進ポーリング等により把握した断層に関する情報を反 映させることを考えている。

#### 表 10 トンネル湧水を河川へ放流することに伴う河川水温の推定結果【椹島からの放流量最大/推定地点:椹島】

	の放流量が最大となる時期 る椹島での推定結果】	時期区分① 1月~3月 (渇水期・積雪期)	時期区分② 4月~6月上旬 (雪解け期)	時期区分③ 6月中旬~7月中旬 (梅雨期)	時期区分④ 7月下旬~8月下旬 (夏季小降水期)	時期区分5 9月~10月 (台風時期)	時期区分⑥ 11月~12月 (冬季乾燥期)
	平均水温ケース(°C)	17.5	15.3	16.1	19.6	19.3	16.7
JR東海モデル	最高水温ケース(°C)	18.7	16.1	16.9	20.7	20.5	17.8
(薬注なし)	最低水温ケース(°C)	16.3	14.5	15.3	18.5	18.1	15.6
	想定地温勾配最高ケース(°C)	19.6	16.7	17.4	21.4	21.3	18.6
	平均水温ケース(℃)	13.8	13.2	14.2	18.3	17.5	13.6
静岡市モデル	最高水温ケース(°C)	14.8	13.7	14.7	19.1	18.4	14.4
(薬注なし)	最低水温ケース(°C)	12.9	12.7	13.7	17.5	16.6	12.8
	想定地温勾配最高ケース(°C)	15.5	14.1	15.1	19.7	19.0	15.0
	平均水温ケース (°C)	7.3	10.5	11.8	16.2	14.3	8.6
静岡市モデル	最高水温ケース(℃)	7.7	10.6	12.0	16.5	14.7	9.0
(薬注あり)	最低水温ケース(℃)	6.9	10.3	11.6	15.9	13.9	8.3
	想定地温勾配最高ケース(°C)	8.0	10.8	12.1	16.7	14.9	9.1
(参	考)河川水温(°C) <sup>※1</sup>	2.6**2	9.0	10.5	14.9	12.2	5.4

<sup>※1: 2024</sup>年の椹島での実測値の平均値(1時間に1回計測している計測結果の日平均値を時期区分毎の平均した値)

<sup>※2:2024</sup>年1月は欠測が多かったため、1月のデータは2018年~2024年に実施した月1回の計測結果の平均値を使用。

<sup>※3:</sup>JR東海モデルは、断層が存在すると考えられるブロックを一括りに大きな透水係数に設定しており、また静岡市モデルは斜坑や工事用道路トンネルが実際のトンネルサイズよりも10倍以上 大きく設定している。静岡市モデルと比較し、JR東海モデルの方がトンネル湧水量や河川流量の減少量が大きいのは、断層が存在すると考えられるブロックを一括りに大きな透水係数に設定 しているためであると考えらえれる。今後、予測の見直しを実施する際には、トンネルサイズを適正化したモデルを活用し、高速長尺先進ボーリング等により把握した断層に関する情報を反 映させることを考えている。

#### (4) 放流後河川流下方向の水温変化の推定について

・(3)で推定した河川水温について、放流後、下流へ流下するに連れて生じる大気との 熱交換と支流の合流等による流量増加を考慮し、放流箇所流下方向の水温変化を推定 しました。

#### 1)推定の概要について

- ・推定の対象区間は、トンネル湧水放流箇所から、直近のダムや堰堤までを一区間とし、 西俣〜田代ダム区間、千石〜木賊堰堤区間、椹島〜畑薙第一ダム区間としました。
- ・対象区間を延長 100m 単位で分割し、1 格子毎に河川水温を算出しました。
- ・各格子の河川水温を算出するにあたっては、下流へ流下するに連れて生じる大気との 熱交換と支流の合流等による流量増加を考慮しました。
- ・下流に向かうに連れての流量増加については、対象区間毎に実測河川流量を用いて区間増加量を算出し、算出した区間増加量を、合流する沢等の流域面積に応じて按分し、 当該沢が合流する格子に流入させることとしました。
- ・トンネル湧水を合流させた最初の格子(区間)の水温  $T_{RI}$  は、河川水温、流量の初期値をそれぞれ水温  $T_{RO}$ 、河川流量  $Q_0$  とした場合、当該格子(区間)での熱交換による水温変化、当該格子(区間)での支流等からの流入(流量  $Q_{CI}$ 、水温  $T_{CI}$ )、トンネル湧水の流入(流量  $Q_0$ 、水温  $Q_0$ 、水温  $Q_0$ 、水温  $Q_0$ 、水温  $Q_0$ 、水温  $Q_0$ 、水温  $Q_0$  を考慮し、図 5 に示す混合式で表されます。
- ・第二格子(区間)以降の水温  $T_{R(n)}$ は、前の格子の河川水温、流量をそれぞれ水温  $T_{n-1}$ 、河川流量  $Q_{n-1}$  とした場合、当該格子(区間)での熱交換による水温変化、当該格子(区間)での支流等からの流入(流量  $Q_{(n)}$ 、水温  $T_{G(n)}$ )を考慮し、図 5に示す混合式で表されます  $(n=2,3,4,5, \cdot \cdot \cdot \cdot)$ 。
- ・推定の対象とした時期区分は、冬季の水温上昇に対する生物への影響が懸念されていることから、時期区分①(1月~3月)としました。
- ・上記の考え方に基づき、検討対象別(①トンネル掘削完了後恒常時の椹島、②西俣からのトンネル湧水放流量が最大になる時期における西俣ヤード下流、③千石からのトンネル湧水放流量が最大になる時期における千石ヤード下流、④椹島からのトンネル湧水放流量が最大になる時期における椹島ヤード下流)、想定水温ケース別(最も放流後の河川水温が高くなる想定地温勾配最高ケース(千石は最高水温ケース)4と平均水温ケース)、モデル別(JR東海モデル、静岡市モデル(薬液注入なし)、静岡市モデル(薬液注入あり))に、放流後の河川流下方向の水温変化を推定しました(詳細なパラメータ設定は、巻末資料2参照)。

<sup>4</sup> 千石地点では、最も水温が高くなるケースが想定地温勾配最高ケースではなく、最高水温ケースであるため

## 【トンネル湧水を合流させた最初の格子(区間)の水温 $T_{R1}$ 】

$$T_{R1} = \frac{Q_{R0} \cdot (T_{R0} + \Delta T_{R1}) + Q_{G1} \cdot T_{G1} + Q_t \cdot T_t}{Q_{R0} + Q_{G1} + Q_t}$$

:トンネル湧水を合流させた最初の格子の河川水温(℃)

 $Q_{R0}$ :河川流量の初期値(m³/s)【トンネル掘削の影響を考慮した推定値】

:河川水温の初期値(°C)【実測値】  $T_{\mathrm{R0}}$ 

 $\Delta T_{R1}$ :水面からの熱の出入りによって生じる水温変化量(℃)【別途計算】

: 支流等からの流入の流量 (m³/s) 【別途計算】 : 支流等からの流入の水温(℃)【=T<sub>RQ</sub>】

 $T_{G1}$ :トンネル湧水の流量(m³/s)【推定値】 トンネル湧水の水温(℃)【推定値】

## 【第二格子(区間)以降の水温*T<sub>R(n)</sub>* 】

$$T_{R(n)} = \frac{Q_{R(n-1)} \cdot \left(T_{R(n-1)} + \Delta T_{R(n)}\right) + Q_{G(n)} \cdot T_{G(n)}}{Q_{R(n-1)} + Q_{G(n)}}$$

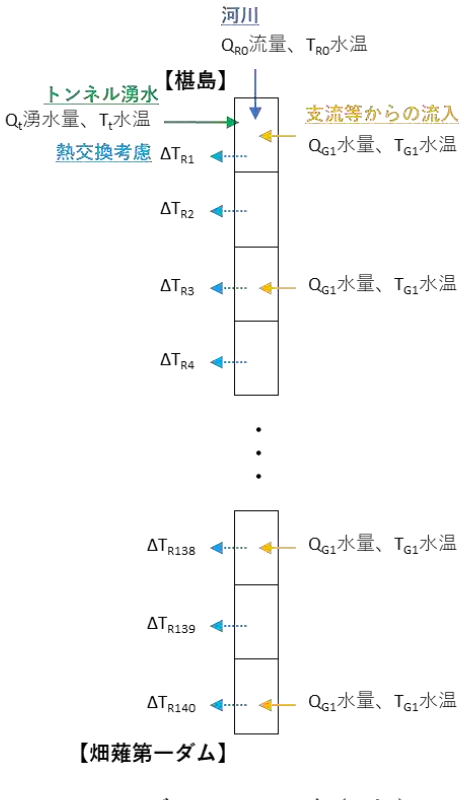
: 当該格子の河川水温(℃)  $T_{R(n)}$ 

 $Q_{R(n-1)}$  :当該格子の一つ手前の河川流量( $\mathsf{m}^3/\mathsf{s}$ )  $T_{\mathbf{R}(n-1)}$ :当該格子の一つ手前の河川水温( $^{\circ}$ )

:水面からの熱の出入りによって生じる水温変化量(℃)  $\Delta T_{\mathbf{R}(n)}$ 

:支流等からの流入の流量(m³/s  $Q_{G(n)}$ 

:支流等からの流入の水温(℃)  $T_{G(n)}$ 



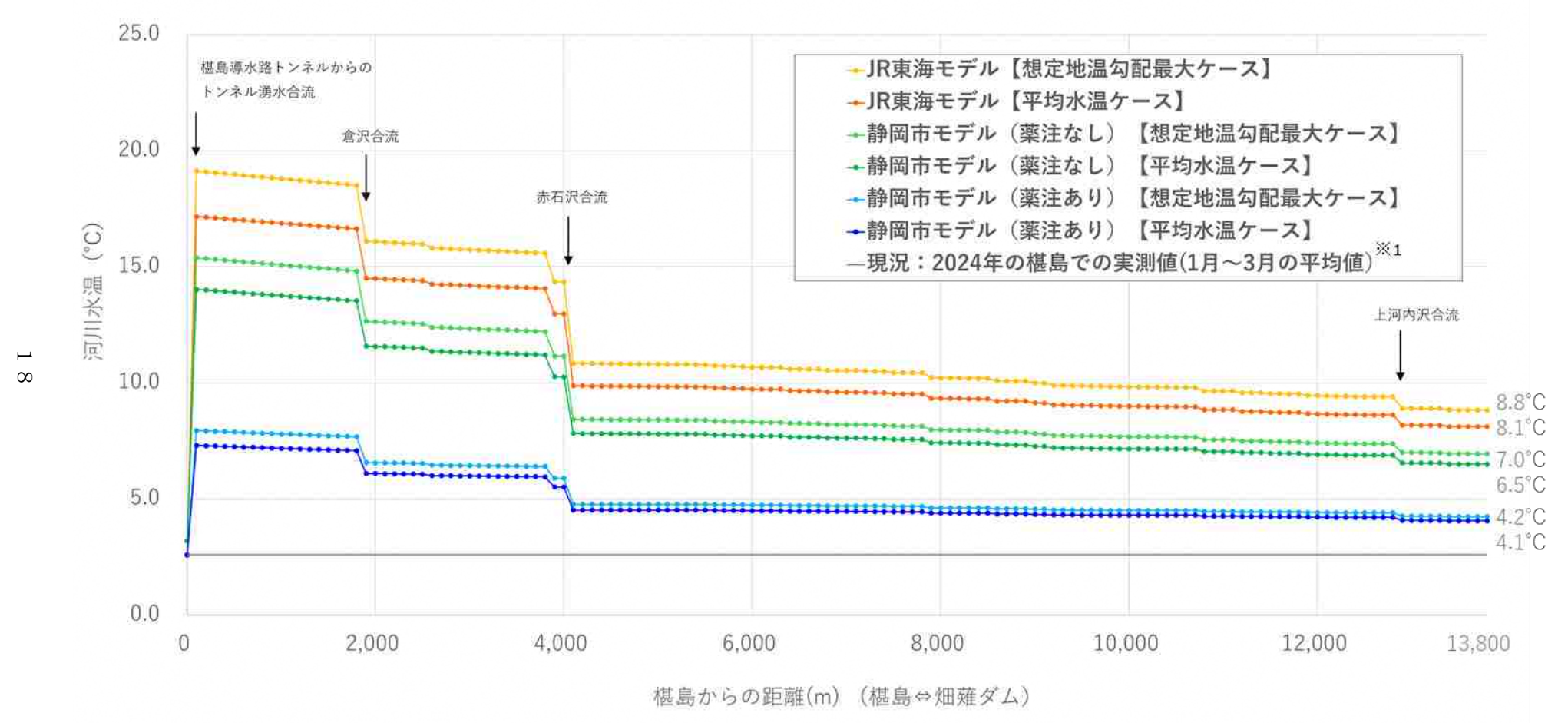
モデルのイメージ(再掲)

#### 図 5 大気との熱交換と支流合流等による流量増加を考慮した水温変化の算出イメージ

#### 2) 推定結果について

- ・放流後の河川流下方向の水温変化を推定した結果を図 6~図 9に示します。
- ・(3) 同様、河川水温の上昇については、モデルの違い(JR 東海モデル、静岡市モデル (薬液注入なし)、静岡市モデル(薬液注入あり))によって大きな差が生じる結果とな りました。
- ・その主な要因は、各モデルで想定されるトンネル湧水量の差であると考えられ、特に静 岡市モデル(薬注あり)では、解析上、薬液注入の効果を考慮したことによってトンネ ル湧水量が少なくなり、河川水温の上昇が限定的になる結果となっています。このこと は、トンネル湧水量を低減させる薬液注入が、河川や沢の流量減少への対策のみならず、 河川本流の水温上昇への対策としても有効であることを示唆していると考えられます。

## 椹島~畑薙ダムにかけての河川水温変化 (時期区分1)



※1: 2024年の椹島での実測値の平均値(1時間に1回計測している計測結果の日平均値を時期区分毎の平均した値)。2024年1月は欠測が多かったため、1月のデータは2018年~2024年に実施した月1回の計測結果の平均値を使用。

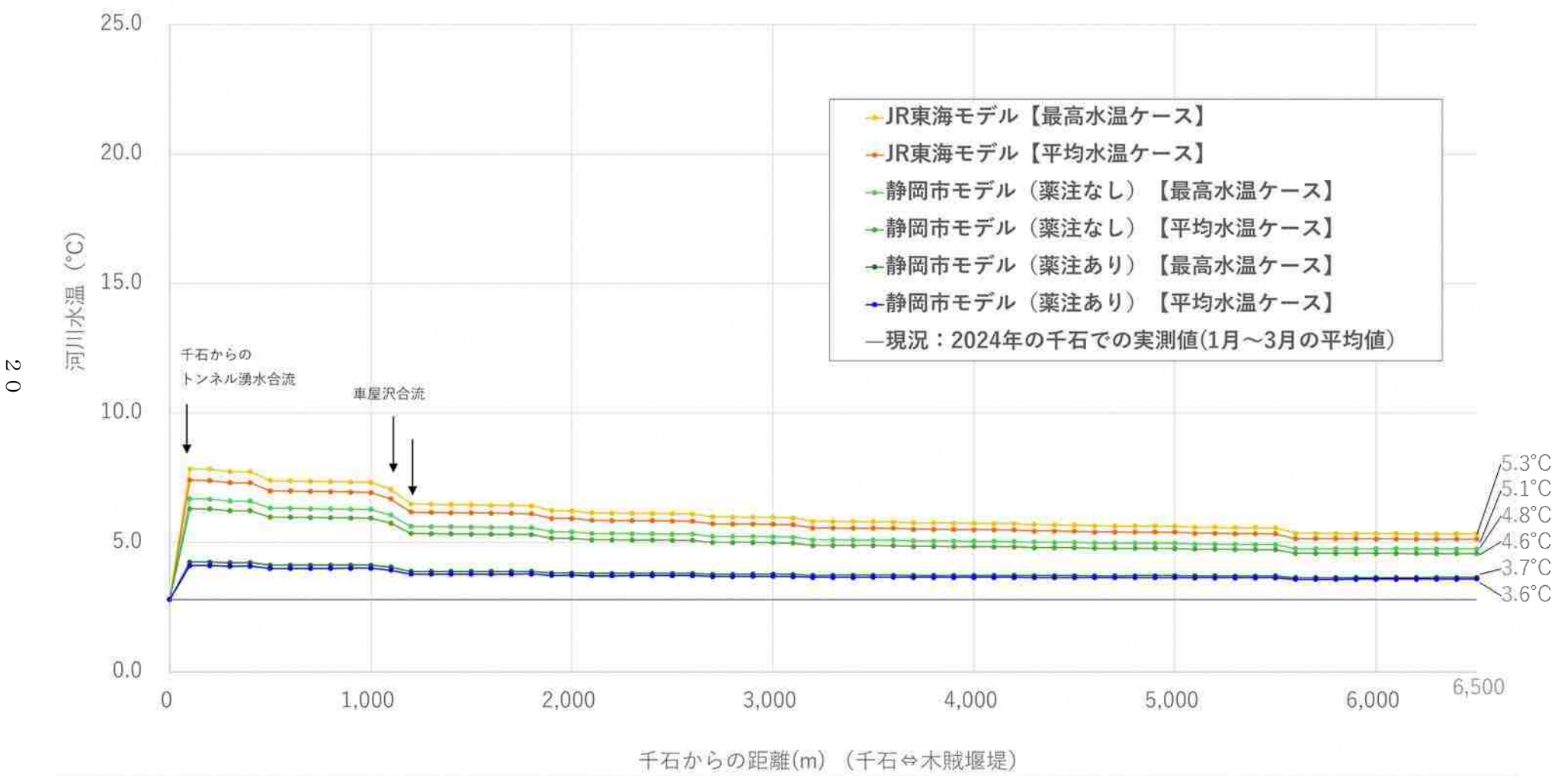
※2:JR東海モデルは、断層が存在すると考えられるブロックを一括りに大きな透水係数に設定しており、また静岡市モデルは斜坑や工事用道路トンネルが実際のトンネルサイズよりも10倍以上 大きく設定している。静岡市モデルと比較し、JR東海モデルの方がトンネル湧水量や河川流量の減少量が大きいのは、断層が存在すると考えられるブロックを一括りに大きな透水係数に設定 しているためであると考えらえれる。今後、予測の見直しを実施する際には、トンネルサイズを適正化したモデルを活用し、高速長尺先進ボーリング等により把握した断層に関する情報を反 映させることを考えている。

図 6 椹島~畑薙第一ダムにかけての河川水温変化(時期区分①)/トンネル掘削完了後恒常時/推定地点:椹島

※:JR東海モデルは、断層が存在すると考えられるプロックを一括りに大きな透水係数に設定しており、また静岡市モデルは斜坑や工事用道路トンネルが実際のトンネルサイズよりも10倍以上 大きく設定している。静岡市モデルと比較し、JR東海モデルの方がトンネル湧水量や河川流量の減少量が大きいのは、断層が存在すると考えられるプロックを一括りに大きな透水係数に設定 しているためであると考えらえれる。今後、予測の見直しを実施する際には、トンネルサイズを適正化したモデルを活用し、高速長尺先進ポーリング等により把握した断層に関する情報を反 映させることを考えている。

図 7 西俣~田代ダムにかけての河川水温変化(時期区分①)/西俣からの放流最大/推定地点:西俣

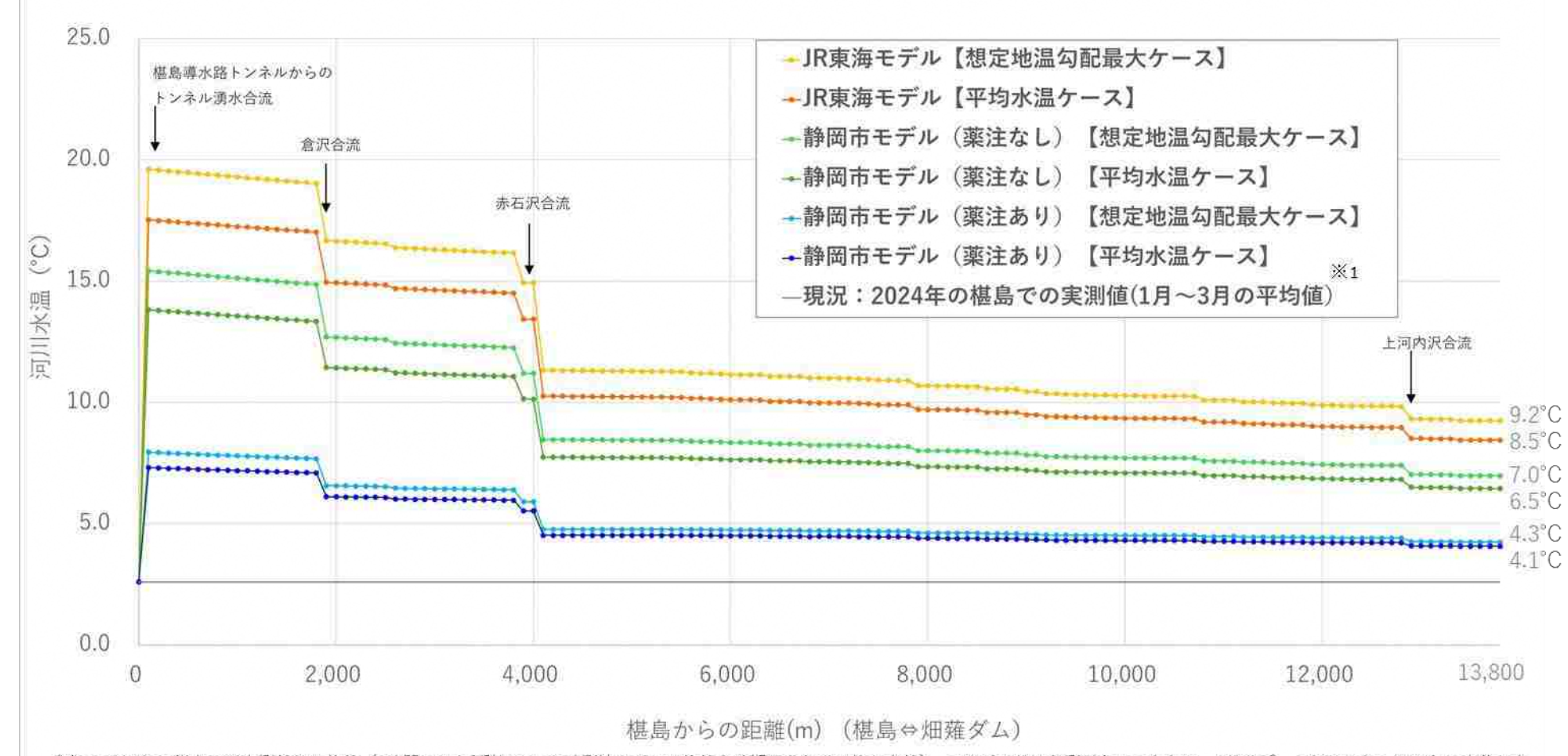
## 千石~木賊堰堤にかけての河川水温変化 (時期区分1)



※:JR東海モデルは、断層が存在すると考えられるプロックを一括りに大きな透水係数に設定しており、また静岡市モデルは斜坑や工事用道路トンネルが実際のトンネルサイズよりも10倍以上 大きく設定している。静岡市モデルと比較し、JR東海モデルの方がトンネル湧水量や河川流量の減少量が大きいのは、断層が存在すると考えられるブロックを一括りに大きな透水係数に設定 しているためであると考えらえれる。今後、予測の見直しを実施する際には、トンネルサイズを適正化したモデルを活用し、高速長尺先進ポーリング等により把握した断層に関する情報を反 映させることを考えている。

図 8 千石~木賊堰堤にかけての河川水温変化(時期区分①)/千石からの放流最大/推定地点:千石

## 椹島~畑薙ダムにかけての河川水温変化 (時期区分1)



※1: 2024年の椹島での実測値の平均値(1時間に1回計測している計測結果の日平均値を時期区分毎の平均した値)。2024年1月は欠測が多かったため、1月のデータは2018年〜2024年に実施した 月1回の計測結果の平均値を使用。

※2:JR東海モデルは、断層が存在すると考えられるブロックを一括りに大きな透水係数に設定しており、また静岡市モデルは斜坑や工事用道路トンネルが実際のトンネルサイズよりも10倍以上 大きく設定している。静岡市モデルと比較し、JR東海モデルの方がトンネル湧水量や河川流量の減少量が大きいのは、断層が存在すると考えられるブロックを一括りに大きな透水係数に設定 しているためであると考えらえれる。今後、予測の見直しを実施する際には、トンネルサイズを適正化したモデルを活用し、高速長尺先進ボーリング等により把握した断層に関する情報を反 映させることを考えている。

図 9 椹島~畑薙第一ダムにかけての河川水温変化(時期区分①)/椹島からの放流最大/推定地点:椹島

#### (5) 水温変化に伴う水生生物への影響予測

・トンネル湧水を河川へ放流することに伴う河川水温の変化によって水生生物に生じる可能性のある影響は、以下の通りと考えられます。なお、影響の程度は、トンネル湧水量が解析上推定される最大量(今回の推定では JR 東海モデルでの結果)の場合に最も大きくなると考えられます。

#### 【底生動物】

- ・積算温量(成虫になるまでに必要な発育零点以上の温度の積算値)の増大に伴う生活 史の変化として、羽化時期の早期化、長期化などが起こり得ると考えられます。その 結果、繁殖が成功する確率が低下して個体数の減少を招く恐れがあります。
- ・好冷水性種にとっては生息可能域の制限や縮小が起きる可能性があります。

#### 【魚類】

- ・ 産卵床や仔稚魚の生息場が減少する可能性があります (魚類の行動変容を含む)。
- ・従来生息していた種の一部は生息できる場所がスポット的になる可能性がある一方で、 トンネル湧水は年間を通じて水量が安定しており、水温の季節変動が少ないという特徴 があり、こうした湧水を好む生物にとっては新たな生息場になると考えられます。
- ・このように、トンネル湧水を河川へ放流することに伴う水温の影響は、水生生物の従来 の生息場の損失と新たな生息場の出現という両側面を有する影響です。
- ・また、生物種毎に影響が生じる水温や影響の程度が異なることから、損失と出現のどち らの側面についても、事前に生物への影響の程度を予測することは困難です。
- ・トンネル掘削前、掘削中、掘削完了後に亘り、河川流量や水温、水生生物のモニタリングを行い、その結果を踏まえ、放流箇所上流側のレファレンス地点のモニタリング結果やトンネル掘削開始前のモニタリング結果と比較するなど、静岡県生物多様性専門部会委員の意見を踏まえて、生物への影響(良悪両側面)の程度を判断し、対応を検討します。
- ・なお、影響を受ける可能性のある好冷水性の水生生物については、今後、大井川本流の 湧き間における生物調査を実施し、確認してまいります。

#### (6) 対応の基本的な考え方

- ・水温の影響に関しては、生物種ごとに影響が生じる水温や生じる影響の程度が異なるため、現時点では、生物への影響が懸念されない水温は現況河川の水温であると考えられます。ただし、河川水温の推定結果は、解析上、トンネル掘削に際して薬液注入の効果を考慮した場合のモデルにおいても少なからず河川水温が上昇し、生物への影響が生じる可能性があることを示しています。このため、事前に代償措置5を検討するとともに生物への影響を少しでも低減させるため、可能な限り河川水温の上昇に対する水温低減措置を実施してまいります。
- ・工事中や工事完了後において、河川水温や生物等のモニタリング結果に基づき、静岡県生物多様性専門部会委員の意見も踏まえ、水温変化による生物への影響の程度を確認し、必要に応じて、追加の河川水温の上昇に対する水温低減措置や代償措置 5 を検討・実施します。

#### (7) 低減措置について

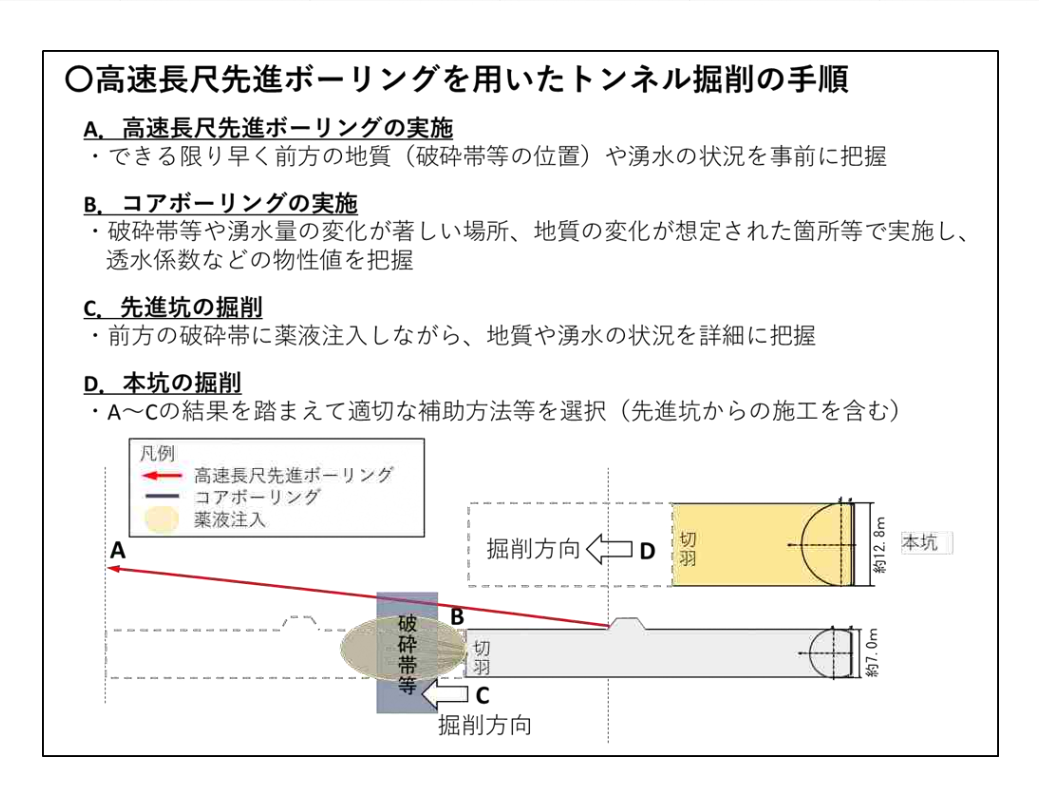
- ・河川水温の推定結果から、トンネル湧水量の差が河川水温の上昇の程度の主たる要因であると考えられることを踏まえ、河川水温の上昇に対する水温低減措置の実施にあたっては、トンネル湧水量を低減させるための薬液注入の適切な実施を基本に、順応的に管理を行います。
- ・順応的な管理にあたっては、(6)に記載のとおり、河川水温の上昇に対する水温低減措置を実施した上で、モニタリング結果に基づき、低減措置の追加等を行います。モニタリング結果を評価する際の目安となる値として、管理基準値を設定することとし、薬液注入の効果を考慮した静岡市モデル(薬液注入あり)で推定される河川水温の推定値を管理基準値とし、表 11に示します。
- ・薬液注入を適切に実施するため、トンネル掘削前、掘削中において、高速長尺先進ボーリングを実施し、地質や湧水の状況を確認します。
- ・高速長尺先進ボーリングの結果、断層と想定される箇所や湧水量の変化が著しい箇所 ではコアボーリングを実施し、断層の位置や幅、透水係数を確認したうえでトンネル 湧水量の推定の見直しを行い、トンネル湧水量を低減するため、主要な断層とトンネ ルが交差する箇所において、必要に応じて薬液注入を実施します。

<sup>5 「</sup>資料3 代償措置の考え方、進め方について」 P1 【今後の代償措置の考え方】に基づく

<sup>6 (6)</sup> に記載の通り、薬液注入の効果を考慮した静岡市モデル(薬液注入あり)での推定結果であっても、現況河川と比較し少なからず河川水温が上昇する結果となっており、現時点では、現況河川の水温を生物への影響が懸念されない管理基準値として定めて対応することは困難であることから、水温上昇の低減措置実施後のモニタリング結果を評価する際の目安となる値として、管理基準値を定めるものです。

表 11 管理基準値(モニタリング結果を評価する際の目安となる値)7

	時期区分①	時期区分②	時期区分③	時期区分④	時期区分⑤	時期区分⑥
	1月~3月 (渇水期・積雪期)	4月~6月上旬 (雪解け期)	6月中旬~7月中旬(梅 雨期)	7月下旬~8月下旬 (夏季小降水期)	9月~10月 (台風時期)	11月~12月 (冬季乾燥期)
西俣(工事中)	4.2°C	7.4°C	10.8°C	14.6°C	12.8°C	6.2°C
千石(工事中)	4.1°C	7.5°C	10.6°C	13.5°C	11.9°C	5.5°C
椹島 (工事中、工事完了後恒常時)	7.3°C	10.5°C	11.8°C	16.2°C	14.3°C	8.6°C



#### 図 10 高速長尺先進ボーリングを用いたトンネル掘削の手順(先進坑・本坑の例)

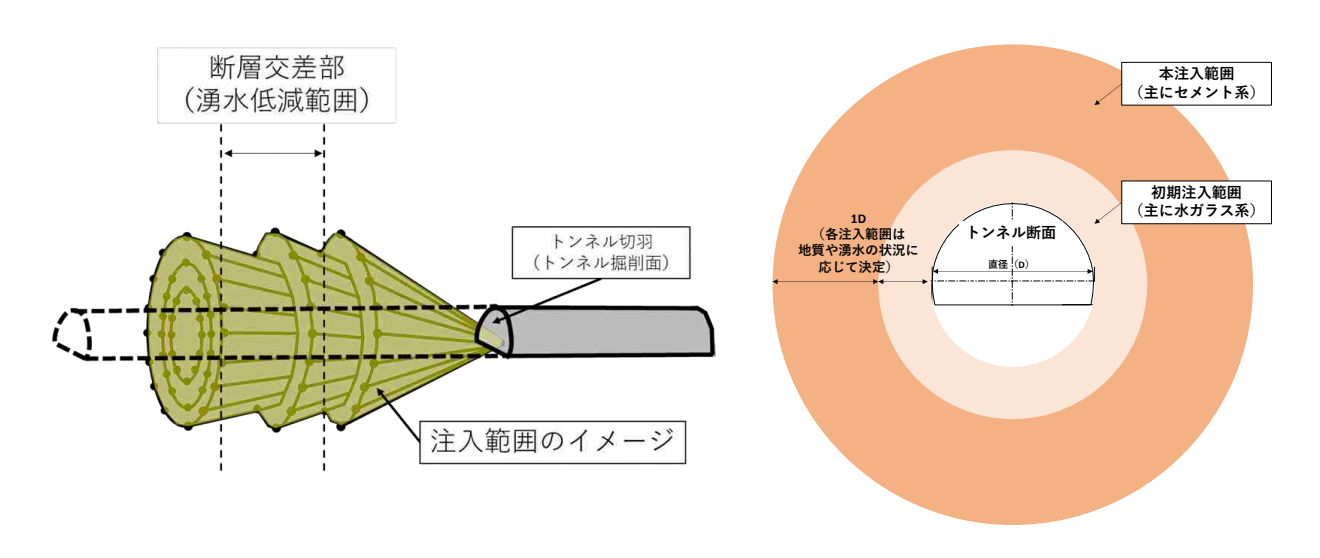


図 11 薬液注入 (プレグラウト) のイメージ

<sup>7</sup>静岡市モデル(薬液注入あり)/平均水温ケースでの河川水温の推定値(表7~10参照)

- ・また、トンネル湧水の低減対策に加え、現地で実施可能な冬季のトンネル湧水温低減 対策(沈砂池等で外気に曝す、曝気を行う、放流口等において減勢工を設ける、積雪と 湧水を混合させる等)を実施します。
- ・なお、トンネル湧水を近傍のダム等へ導水することで、放流箇所近傍の水温変化を低減する方策については、導水する区間において河川本流の流量減少が生じることや、 導水設備の設置のための新たな地上改変が必要になることから、実施することは考えていません。

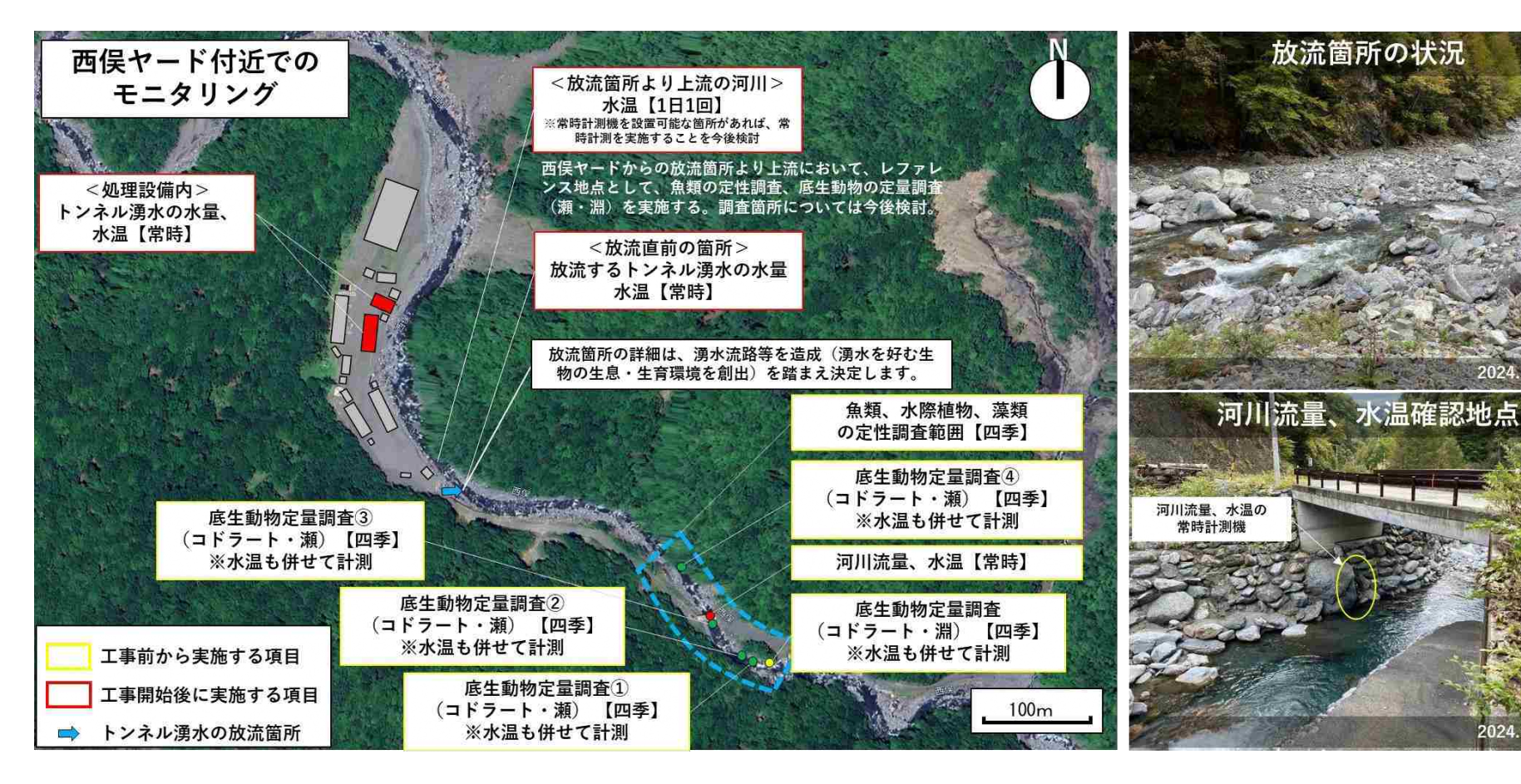
## (8) モニタリングとリスク対応について

#### 1) モニタリングについて

- ・トンネル掘削中、トンネル掘削完了後に亘り、放流直前のトンネル湧水温、トンネル 湧水量、放流箇所下流の河川流量、河川水温をモニタリングするとともに、トンネル 湧水の放流箇所下流での水生生物の生息・生育状況調査(四季)を実施することで、 環境の変化や水生生物の生息・生育状況の変化を確認します。
- ・また、影響のレファレンスとして、放流箇所上流(西俣地点の放流箇所より上流)に おいても、河川水温のモニタリング、水生生物の生息・生育状況調査(四季)を実施 します。
- ・トンネル湧水温、トンネル湧水量、放流箇所下流の河川流量、河川水温のモニタリン グ結果については、月に1回を基本として、静岡県生物多様性専門部会委員へ報告し ます。
- ・水生生物の生息・生育状況調査の結果については、季節毎に都度、静岡県生物多様性 専門部会委員へ報告します。
- ・各ヤード周辺における水温変化に係るモニタリング計画を図 12~図 14に示します。

#### 2) モニタリング結果を踏まえた対応(リスク対応)について

- ・トンネル湧水温や河川水温等のモニタリングの結果、管理基準値より河川水温が上昇してしまう場合には、その時点の状況に応じた可能な限りの追加の低減措置(ポストグラウト等)を実施します。
- ・また、工事中、工事完了後に亘り実施する、河川水温や生物等のモニタリング結果に 基づき、静岡県生物多様性専門部会委員の意見も踏まえ、水温変化によって生じた生 物への影響(良悪両側面)の程度を判断し、必要に応じて代償措置5の見直しを行う 等、順応的に対応します。



2024.10.15撮影

図 12 西俣ヤード周辺における水温変化に係るモニタリング計画

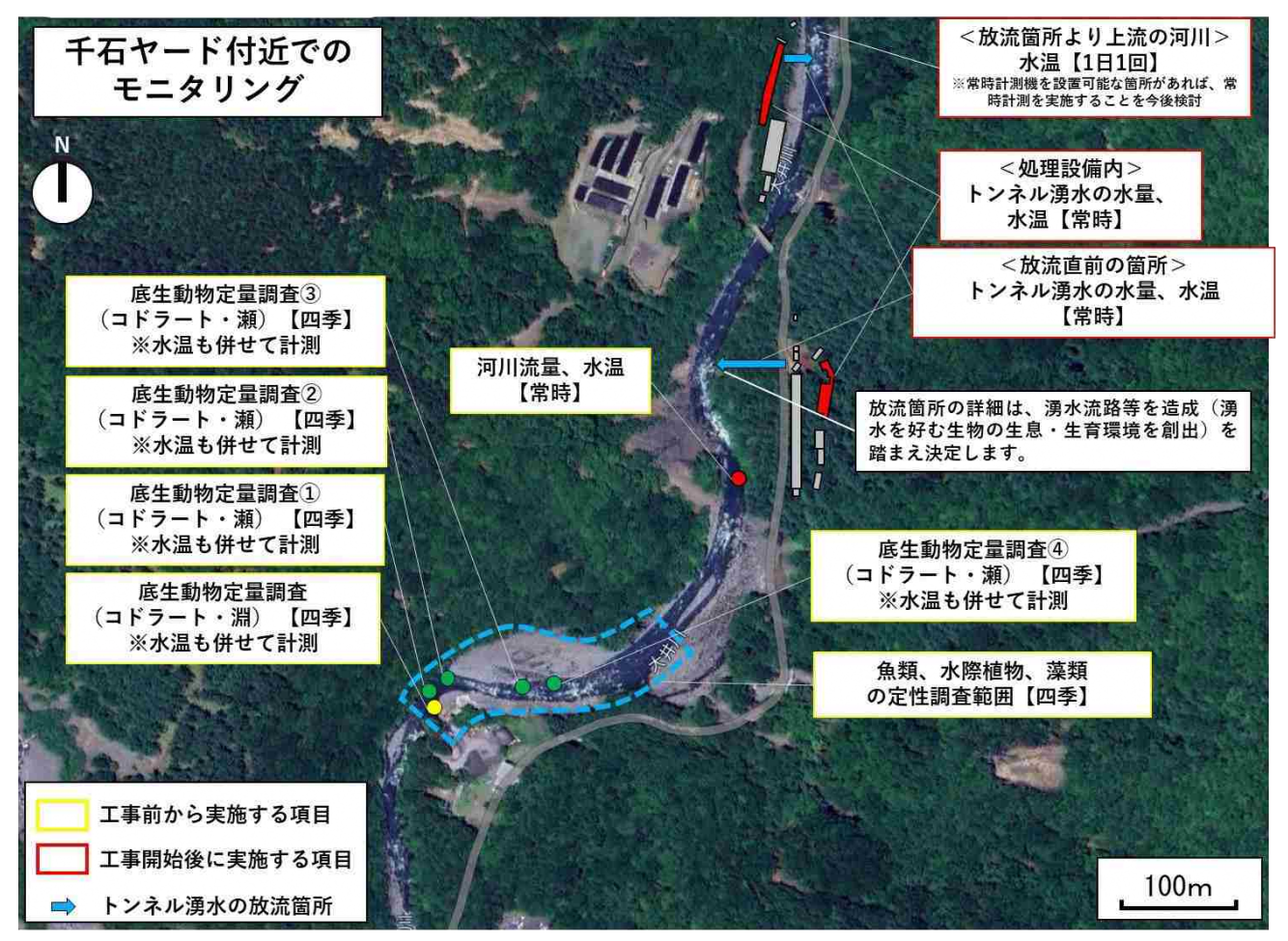






図 13 千石ヤード周辺における水温変化に係るモニタリング計画

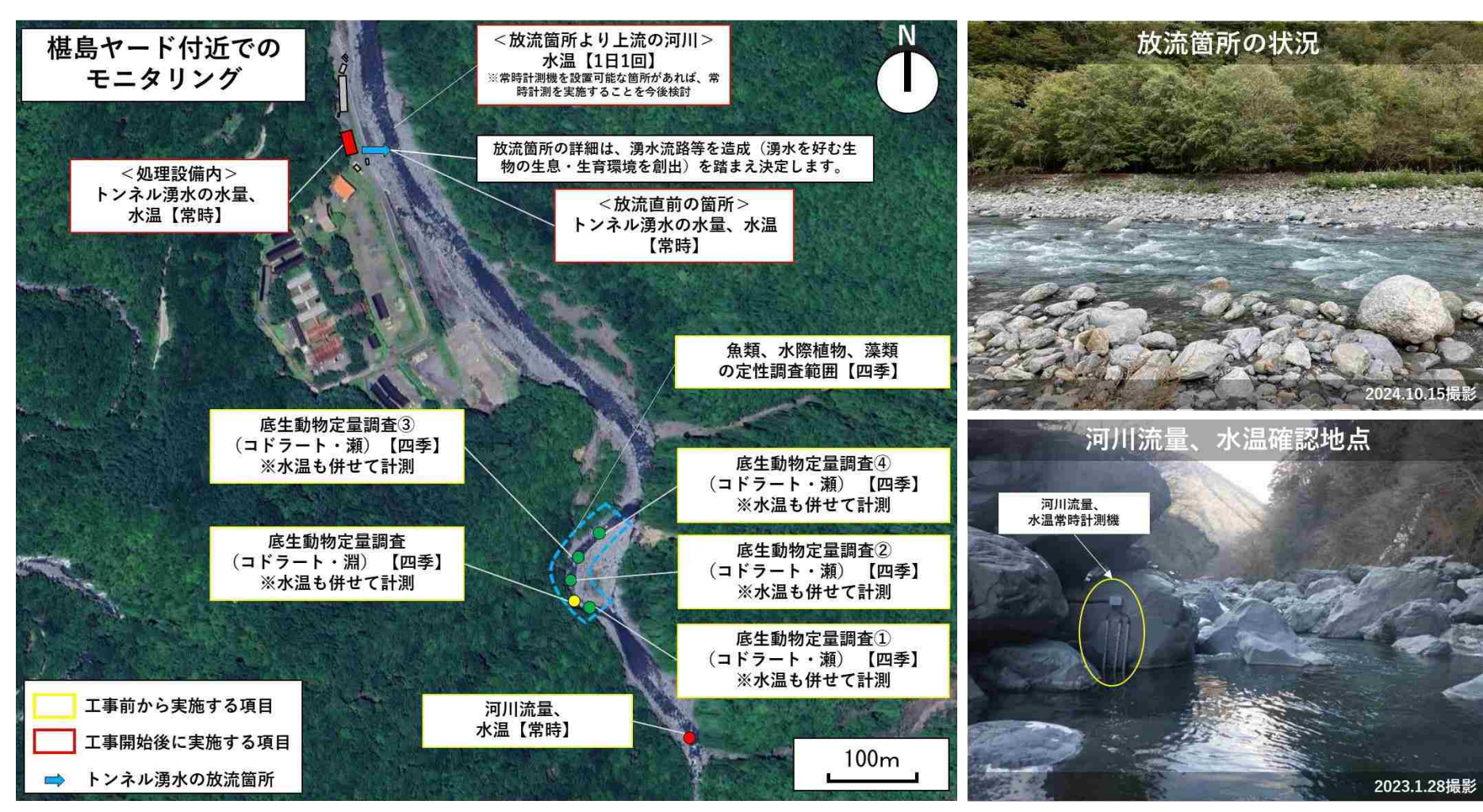


図 14 椹島ヤード周辺における水温変化に係るモニタリング計画

# (巻末資料1)トンネル湧水を河川へ放流することに伴う河川水温の推定に用いたパラメータ

## ○トンネル掘削完了後恒常時/推定地点: 椹島でのパラメータ

	<del></del> :		時期区分①	時期区分②	時期区分③	時期区分④	時期区分⑤	時期区分⑥	
			1月~3月 (渇水期・積雪期)	4月~6月上旬 (雪解け期)	6月中旬~7月中旬 (梅雨期)	7月下旬~8月下旬 (夏季小降水期)	9月~10月 (台風時期)	11月~12月 (冬季乾燥期)	
	トンネル湧水量(m3/s)		3.1	3.0	3.1	3.1	3.2	3.2	
		平均水温ケース	21.9						
JR東海モデル		最高水温ケース	23.5						
10米/年 に アル	トンネル湧水温(°C)	最低水温ケース	20.3						
		想定地温勾配最大ケース			24	1.5			
	河川流量(m3/s)		1.0	3.5	3.6	1.7	1.3	1.6	
	トンネル湧水量(m3/s)		1.8	1.8	1.9	1.9	1.9	1.9	
	トンネル湧水温(°C)	平均水温ケース	22.0						
静岡市モデル		最高水温ケース	23.6						
(薬注なし)		最低水温ケース	20.4						
		想定地温勾配最大ケース	24.8						
	河川流量(m3/s)		1.3	3.8	3.9	2.1	1.6	1.9	
	トンネル湧水量(m3/s)		0.6	0.5	0.6	0.6	0.6	0.6	
	トンネル湧水温(°C)	平均水温ケース	21.5						
静岡市モデル		最高水温ケース	23.1						
(薬注あり)		最低水温ケース	19.9						
		想定地温勾配最大ケース			24	l.1			
	河川流量(m3/s)		1.7	4.2	4.2	2.4	1.9	2.3	
河川水温(°C) <sup>※1</sup>			2.6**2	9.0	10.5	14.9	12.2	5.4	

<sup>※1: 2024</sup>年の椹島での実測値の平均値(1時間に1回計測している計測結果の日平均値を時期区分毎の平均した値)

<sup>※2:2024</sup>年1月は欠測が多かったため、1月のデータは2018年~2024年に実施した月1回の計測結果の平均値を使用。

<sup>※3:</sup>JR東海モデルは、断層が存在すると考えられるブロックを一括りに大きな透水係数に設定しており、また静岡市モデルは斜坑や工事用道路トンネルが実際のトンネルサイズよりも10倍以上 大きく設定している。静岡市モデルと比較し、JR東海モデルの方がトンネル湧水量や河川流量の減少量が大きいのは、断層が存在すると考えられるブロックを一括りに大きな透水係数に設定 しているためであると考えらえれる。今後、予測の見直しを実施する際には、トンネルサイズを適正化したモデルを活用し、高速長尺先進ボーリング等により把握した断層に関する情報を反 映させることを考えている。

# ○西俣からの放流最大時/推定地点:西俣でのパラメータ

	·	· -	時期区分①	時期区分②	時期区分③	時期区分4	時期区分5	時期区分 6
			1月~3月 (渇水期・積雪期)	4月~6月上旬 (雪解け期)	6月中旬~7月中旬 (梅雨期)	7月下旬~8月下旬 (夏季小降水期)	9月~10月 (台風時期)	11月~12月 (冬季乾燥期)
4)	トンネル湧水量(m3/s)		0.7	0.7	0.7	0.8	0.8	0.8
ID##===""	トンネル湧水温(°C)	平均水温ケース	23.8					
		最高水温ケース	25.4					
JR東海モデル		最低水温ケース	22.2					
		想定地温勾配最大ケース	28.2					
	河川流量(m3/s)		1.2	3.8	6.2	0.9	1.1	1.2
	トンネル湧水量(m3/s)		0.5	0.5	0.5	0.5	0.5	0.5
	トンネル湧水温(°C)	平均水温ケース	21.4					
静岡市モデル		最高水温ケース	23.0					
(薬注なし)		最低水温ケース	19.8					
		想定地温勾配最大ケース	23.5					
	河川流量(m3/s)		1.2	3.8	6.2	0.9	1.1	1.1
	トンネル湧水量(m3/s)		0.1	0.1	0.1	0.1	0.1	0.1
	トンネル湧水温(°C)	平均水温ケース	21.6					
静岡市モデル		最高水温ケース	23.2					
(薬注あり)		最低水温ケース	20.0					
		想定地温勾配最大ケース			24	l.1		
	河川流量(m3/s)		1.3	3.9	6.3	1.0	1.2	1.2
	河川水温(℃) <sup>※1</sup>			9.0	10.5	14.9	12.2	5.4

※1: 2024年の西俣での実測値の平均値

# ○千石からの放流最大時/推定地点:千石でのパラメータ

	· ×		時期区分①	時期区分②	時期区分③	時期区分④	時期区分⑤	時期区分⑥	
			1月~3月 (渇水期・積雪期)	4月~6月上旬 (雪解け期)	6月中旬~7月中旬 (梅雨期)	7月下旬~8月下旬 (夏季小降水期)	9月~10月 (台風時期)	11月~12月 (冬季乾燥期)	
	トンネル湧水量(m3/s)		0.6	0.5	0.6	0.6	0.6	0.7	
JR東海モデル	トンネル湧水温(°C)	平均水温ケース	19.7						
		最高水温ケース	21.3						
		最低水温ケース	18.1						
		想定地温勾配最大ケース		19.7					
	河川流量(m3/s)		1.5	4.7	13.0	5.9	3.9	2.7	
	トンネル湧水量(m3/s)		0.5	0.5	0.5	0.5	0.5	0.5	
	トンネル湧水温(°C)	平均水温ケース	17.5						
静岡市モデル		最高水温ケース	19.1						
(薬注なし)		最低水温ケース	15.9						
		想定地温勾配最大ケース	17.5						
	河川流量(m3/s)		1.5	4.7	12.9	5.9	3.9	2.7	
	トンネル湧水量(m3/s)		0.2	0.2	0.2	0.2	0.2	0.2	
		平均水温ケース	17.6						
静岡市モデル	トンネル湧水温(°C)	最高水温ケース	19.2						
(薬注あり)		最低水温ケース	16.0						
		想定地温勾配最大ケース			17	7.6			
	河川流量(m3/s)		1.8	5.0	13.2	6.2	4.2	3.0	
	河川水温 (℃) <sup>※1</sup>			7.1	10.5	13.3	11.6	4.8	

※1: 2024年の千石での実測値の平均値

# 3 2

## ○椹島からの放流最大時/推定地点:椹島でのパラメータ

			時期区分①	時期区分②	時期区分③	時期区分④	時期区分5	時期区分6	
			1月~3月 (渇水期・積雪期)	4月~6月上旬 (雪解け期)	6月中旬~7月中旬 (梅雨期)	7月下旬~8月下旬 (夏季小降水期)	9月~10月 (台風時期)	11月~12月 (冬季乾燥期)	
	トンネル湧水量(m3/s)		3.4	3.4	3.4	3.4	3.4	3.4	
ĺ	トンネル湧水温(°C)	平均水温ケース	21.9						
JR東海モデル		最高水温ケース	23.5						
JR来海モブル	「ノイル法小温(し)	最低水温ケース	20.3						
		想定地温勾配最大ケース	24.7						
	河川流量	(m3/s)	1.0	3.5	3.6	1.7	1.3	1.6	
	トンネル湧水量(m3/s)		1.9	1.8	1.9	1.9	1.9	1.9	
	トンネル湧水温(°C)	平均水温ケース	22.0						
静岡市モデル		最高水温ケース	23.6						
(薬注なし)		最低水温ケース	20.4						
		想定地温勾配最大ケース	24.7						
	河川流量(m3/s)		1.4	3.8	3.9	2.1	1.6	1.9	
	トンネル湧水量(m3/s)		0.6	0.6	0.6	0.6	0.6	0.6	
	トンネル湧水温(°C)	平均水温ケース	21.5						
静岡市モデル		最高水温ケース	23.1						
(薬注あり)		最低水温ケース	19.9						
		想定地温勾配最大ケース			24	.1			
	河川流量(m3/s)		1.7	4.2	4.2	2.4	1.9	2.3	
	河川水温(℃) <sup>※1</sup>			9.0	10.5	14.9	12.2	5.4	

※1: 2024年の椹島での実測値の平均値(1時間に1回計測している計測結果の日平均値を時期区分毎の平均した値)

※2:2024年1月は欠測が多かったため、1月のデータは2018年~2024年に実施した月1回の計測結果の平均値を使用。

※3:JR東海モデルは、断層が存在すると考えられるブロックを一括りに大きな透水係数に設定しており、また静岡市モデルは斜坑や工事用道路トンネルが実際のトンネルサイズよりも10倍以上 大きく設定している。静岡市モデルと比較し、JR東海モデルの方がトンネル湧水量や河川流量の減少量が大きいのは、断層が存在すると考えられるブロックを一括りに大きな透水係数に設定 しているためであると考えらえれる。今後、予測の見直しを実施する際には、トンネルサイズを適正化したモデルを活用し、高速長尺先進ボーリング等により把握した断層に関する情報を反 映させることを考えている。

# (巻末資料2) 放流後河川流下方向の水温変化の推定に用いたパラメータ

#### ○大気との熱収支を考慮した水温変化量(△T)について

#### 下記の式により、算出する

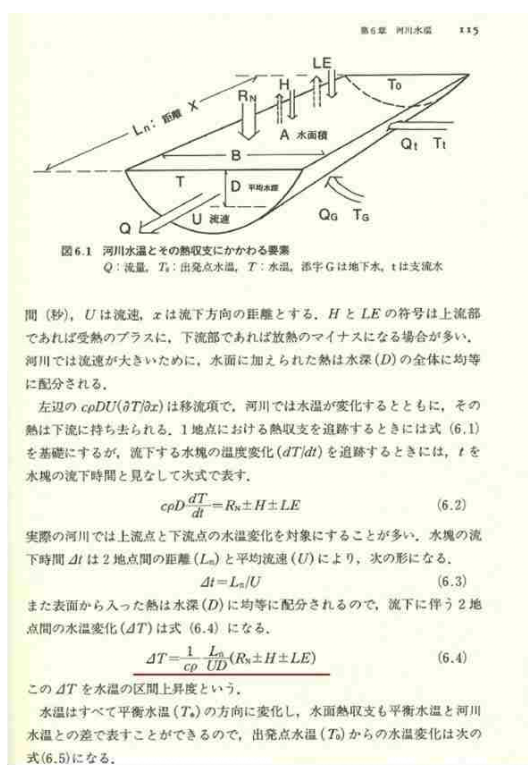
$$\Delta T = \frac{1}{c_{pw} \cdot \rho_w} \frac{L_n}{U \cdot D} (R_N - H - LE)$$

 $\Delta T$ :水面からの熱の出入りによって生じる水温の変化量( $^{\circ}$ C)

 $c_{pw}$ : 水の比熱(J/kg/°C)【固定値:4184】  $\rho_w$ : 水の密度(kg/m³)【固定値:1000】

 $L_n$ : 区間の距離(m) 【固定値(格子延長):100m】U: 区間の平均流速(m/s) 【設定した $Q_{n0}$ 見合いの実測値】D: 区間の平均水深(m) 【設定した $Q_{n0}$ 見合いの実測値】 $R_N$ : 正味放射量(W/m²) 【別途計算】

R<sub>N</sub>: 正味放射量(W/m²)【別途計算】 H: 顕熱輸送量(W/m²)【別途計算】 LE: 潜熱輸送量(W/m²)【別途計算】



新井正(2004): 『地域分析のための熱・水収支水文学』, 古今書院

# $\bigcirc$ 正味放射量 $(R_N)$ について

#### 下記の式により、算出する

$$R_N = (1 - a)I - R_{SG} + R_{AD}$$

ここで、

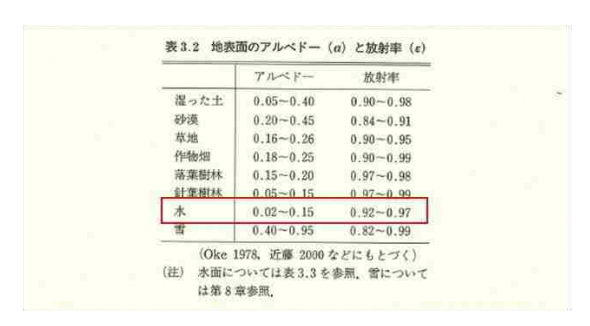
 $R_N$ : 正味放射量(W/m²)

I:日射量( $W/m^2$ )【気象庁公表データより(合計全天日射量( $MJ/m^1$ )\_静岡の2015年から2024年の平均値(時期区分毎に変更)】

a:アルベド(-)【下表3.2の中間値:0.07】

 $R_{SG}$ : 地表(水面)からの上向き長波放射量( $W/m^2$ )【別途計算】

 $R_{AD}$ : 大気からの下向き長波放射量(W/m²)【別途計算】



#### 1.3 地表と大気の熱収支

地球の熱収支においては放射のみではなく、熱伝達、蒸発、移流なども考慮 しなければならない。 図2.3 は大気・地表面・地 (水) 中を結びつける一連の 熱収支を模式的に描いたものである。 図中の数値は S/4 を 100%とし、熱収 支の各成分を%で表したものである。

太陽光は大気を通過するとき空気分子、應、水蒸気、器などによる反射・吸収により弱まるので、地表に到達する日射量をIで表してある。aは地表面の反射率、(1-a)I は地表に吸収される有効日射量になる。地表はその温度  $(T_0)$  で長波放射を出し $(\sigma T_0^*)=R_{00}$ )、その一部は大気により吸収される。大気の加熱あるいは熱貯留は $Q_0$  で表してある。大気も長波放射を上向き $(R_{AU})$ と下向き $(R_{AD})$ に出し、下向きの成分は地表に加えられる。したがって地表面が失う長(液放射は、地表からの上向きの放射 $(R_{SO})$ と大気からの下向きの放射 $(R_{AD})$ の差になる。後者は気温、大気中の水蒸気などに影響される。以上の関係を整理すると放射収支が得られる。地表面が受けとるすべての放射の精算値を正味放射あいは放射収支量 $(R_{SO})$ という。

(2.4)

| R<sub>N</sub>=(1-a)I-R<sub>SC</sub>+R<sub>AD</sub> | R<sub>N</sub>=(1-a)I-R<sub>SC</sub>+R<sub>AD</sub> | R<sub>N</sub>=(1-a)I-R<sub>SC</sub>+R<sub>AD</sub> | R<sub>N</sub>=(1-a)I-R<sub>N</sub>=(1-a)I-R<sub>N</sub>=(1-a)I-R<sub>N</sub>=(1-a)I-R<sub>N</sub>=(1-a)I-R<sub>N</sub>=(1-a)I-R<sub>N</sub>=(1-a)I-R<sub>N</sub>=(1-a)I-R<sub>N</sub>=(1-a)I-R<sub>N</sub>=(1-a)I-R<sub>N</sub>=(1-a)I-R<sub>N</sub>=(1-a)I-R<sub>N</sub>=(1-a)I-R<sub>N</sub>=(1-a)I-R<sub>N</sub>=(1-a)I-R<sub>N</sub>=(1-a)I-R<sub>N</sub>=(1-a)I-R<sub>N</sub>=(1-a)I-R<sub>N</sub>=(1-a)I-R<sub>N</sub>=(1-a)I-R<sub>N</sub>=(1-a)I-R<sub>N</sub>=(1-a)I-R<sub>N</sub>=(1-a)I-R<sub>N</sub>=(1-a)I-R<sub>N</sub>=(1-a)I-R<sub>N</sub>=(1-a)I-R<sub>N</sub>=(1-a)I-R<sub>N</sub>=(1-a)I-R<sub>N</sub>=(1-a)I-R<sub>N</sub>=(1-a)I-R<sub>N</sub>=(1-a)I-R<sub>N</sub>=(1-a)I-R<sub>N</sub>=(1-a)I-R<sub>N</sub>=(1-a)I-R<sub>N</sub>=(1-a)I-R<sub>N</sub>=(1-a)I-R<sub>N</sub>=(1-a)I-R<sub>N</sub>=(1-a)I-R<sub>N</sub>=(1-a)I-R<sub>N</sub>=(1-a)I-R<sub>N</sub>=(1-a)I-R<sub>N</sub>=(1-a)I-R<sub>N</sub>=(1-a)I-R<sub>N</sub>=(1-a)I-R<sub>N</sub>=(1-a)I-R<sub>N</sub>=(1-a)I-R<sub>N</sub>=(1-a)I-R<sub>N</sub>=(1-a)I-R<sub>N</sub>=(1-a)I-R<sub>N</sub>=(1-a)I-R<sub>N</sub>=(1-a)I-R<sub>N</sub>=(1-a)I-R<sub>N</sub>=(1-a)I-R<sub>N</sub>=(1-a)I-R<sub>N</sub>=(1-a)I-R<sub>N</sub>=(1-a)I-R<sub>N</sub>=(1-a)I-R<sub>N</sub>=(1-a)I-R<sub>N</sub>=(1-a)I-R<sub>N</sub>=(1-a)I-R<sub>N</sub>=(1-a)I-R<sub>N</sub>=(1-a)I-R<sub>N</sub>=(1-a)I-R<sub>N</sub>=(1-a)I-R<sub>N</sub>=(1-a)I-R<sub>N</sub>=(1-a)I-R<sub>N</sub>=(1-a)I-R<sub>N</sub>=(1-a)I-R<sub>N</sub>=(1-a)I-R<sub>N</sub>=(1-a)I-R<sub>N</sub>=(1-a)I-R<sub>N</sub>=(1-a)I-R<sub>N</sub>=(1-a)I-R<sub>N</sub>=(1-a)I-R<sub>N</sub>=(1-a)I-R<sub>N</sub>=(1-a)I-R<sub>N</sub>=(1-a)I-R<sub>N</sub>=(1-a)I-R<sub>N</sub>=(1-a)I-R<sub>N</sub>=(1-a)I-R<sub>N</sub>=(1-a)I-R<sub>N</sub>=(1-a)I-R<sub>N</sub>=(1-a)I-R<sub>N</sub>=(1-a)I-R<sub>N</sub>=(1-a)I-R<sub>N</sub>=(1-a)I-R<sub>N</sub>=(1-a)I-R<sub>N</sub>=(1-a)I-R<sub>N</sub>=(1-a)I-R<sub>N</sub>=(1-a)I-R<sub>N</sub>=(1-a)I-R<sub>N</sub>=(1-a)I-R<sub>N</sub>=(1-a)I-R<sub>N</sub>=(1-a)I-R<sub>N</sub>=(1-a)I-R<sub>N</sub>=(1-a)I-R<sub>N</sub>=(1-a)I-R<sub>N</sub>=(1-a)I-R<sub>N</sub>=(1-a)I-R<sub>N</sub>=(1-a)I-R<sub>N</sub>=(1-a)I-R<sub>N</sub>=(1-a)I-R<sub>N</sub>=(1-a)I-R<sub>N</sub>=(1-a)I-R<sub>N</sub>=(1-a)I-R<sub>N</sub>=(1-a)I-R<sub>N</sub>=(1-a)I-R<sub>N</sub>=(1-a)I-R<sub>N</sub>=(1-a)I-R<sub>N</sub>=(1-a)I-R<sub>N</sub>=(1-a)I-R<sub>N</sub>=(1-a)I-R<sub>N</sub>=(1-a)I-R<sub>N</sub>=(1-a)I-R<sub>N</sub>=(1-a)I-R<sub>N</sub>=(1-a)I-R<sub>N</sub>=(1-a)I-R<sub>N</sub>=(1-a)I-R<sub>N</sub>=(1-a)I-R<sub>N</sub>=(1-a)I-R<sub>N</sub>=(1-a)I-R<sub>N</sub>=(1-a)I-R<sub>N</sub>=(1-a)I-R<sub>N</sub>=(1-a)I-R<sub>N</sub>=(1-a)I-R<sub>N</sub>=(1-a)I-R<sub>N</sub>=(1-a)I-R<sub>N</sub>=(1-a)I-R<sub>N</sub>=(1-a)I-R<sub>N</sub>=(1-a)I-R<sub>N</sub>=(1-a)I-R<sub>N</sub>=(1-a)I-R<sub>N</sub>=(1-a)I-R<sub>N</sub>=(1-a)I-R<sub>N</sub>=(1-a)I-R<sub>N</sub>=(1-a)I-R<sub>N</sub>=(1-a)I-R<sub>N</sub>=(1-a)I-R<sub>N</sub>=(1-a)I-R<sub>N</sub>=(1-a)I-R<sub>N</sub>=(1-a)I-R<sub>N</sub>=(1-a)I-R<sub>N</sub>=(1-a)I-R<sub>N</sub>=(1-a)I-R<sub>N</sub>=(1-a)I-R<sub>N</sub>=(1-a)I-R<sub>N</sub>=(1-a)I-R<sub>N</sub>=(1-a)I-R<sub>N</sub>=(1-a)I-R<sub>N</sub>=(1-a)I-R<sub>N</sub>=(1-a)I-R<sub>N</sub>=(1-a)I-R<sub>N</sub>=(1-a)I-R<sub>N</sub>=(1-a)I-R<sub>N</sub>=(1-a)I-R<sub>N</sub>=(1-a)I-R<sub>N</sub>=(1-a)I-R<sub>N</sub>=(1-a)I-R<sub>N</sub>=(1-a)I-R<sub>N</sub>=(1-a)I-R<sub>N</sub>=(1-a)I-R<sub>N</sub>=(1-a)I-R<sub>N</sub>=(1-a)I-R<sub>N</sub>=(1-

新井正 (2004): 『地域分析のための熱・水収支水文学』,古今書院

## 〇地表(水面)からの上向き長波放射量( $R_{SG}$ )、大気からの下向き長波放射量( $R_{AD}$ )

## 下記の式により、算出する

 $R_{SG} = \varepsilon \sigma (T_S + 273.15)^4$ 

 $R_{AD} = \sigma (T_a + 273.15)^4 (a + b\sqrt{e_s})$ 

ここで、

 $R_{SG}$ : 地表(水面)からの上向き長波放射量( $W/m^2$ )

R<sub>AD</sub>: 大気からの下向き長波放射量(W/m²)

 $T_s$ : 地表(水面)の温度( $^{\mathbf{C}}$ )【計算上算出される河川水温】  $T_a$ : 気温( $^{\mathbf{C}}$ )【気象庁公表データより(井川地点の2015年から2024年の平均値(時期区分毎に変更)】

 $\sigma$ :ステファンボルツマン定数  $5.67 \times 10^{-8}$  (W/m²/K)

 $\varepsilon$ : 放射率(-)【「正味放射量( $R_N$ )について」表3.2の中間値:0.95】

 $e_s$ : 水蒸気圧(hPa)【飽和水蒸気圧×湿度(飽和水蒸気圧:下式2.14、湿度:気象庁公表データ(井川地点の2015年から2024年の平均値)】

a,b:定数【右資料よりα:0.51、b:0.066】

飽和水蒸気圧と湿度の関係は、表2.3 に示してある。この関係は各種の近似式 で示される。ティーテンス (Tetens) の近似式は

 $\frac{e_{\text{SAT}}=6.1078\times 10^{a7/(b+7)}}{e_{\text{SAT}}: \text{hPa}, \qquad T: \text{C}}$ 永随上: $a=7.5, \qquad b=237.3$ 朱丽上: $a=9.5, \qquad b=265.3$ 

(2.14)

近藤 純正(1994): 『水環境の気象学-地表面の水収支・熱収支』,朝倉書院

#### (3) 長波放射

放射の基礎式は、ステファン・ボルツマンの法則である(式 3.5)。 地表面からの出放射は地表面温度( $T_a$ )を用い計算する。

 $R_{SG} = \varepsilon \sigma T_s^4$  (3.5)

 $\epsilon$ は放射率で代表的な値は表 3.2 に記した。 $\epsilon=1.0$  の場合が完全黒体で,理想的な放射体となる。土,水の放射率は約 0.96,雪は 0.98,植物は 0.98 である。地表面は完全黒体からは若干ずれるが,気候学的計算では近似的に 1.0 とみなす場合が多い。真の出放射の算定には,上式のとおりに地表面温度に基づかなければならないが,これは気候値としては記録がない。したがって気候学的な計算では, $T_\epsilon$  の代わりに気温  $(T_a)$  を使うことになる。ただし, $T_s$  が得られているときには,式 (3.9) と式 (3.10) の補正を加える。

大気から地表面に向かう長波放射 ( $R_{AD}$ , 図 2.3) は、気温と水蒸気圧に基づいて推定する。いくつかの式があるが、水蒸気圧の平方根を使う Brunt 型が便利である。

$$R_{AD} = \sigma T_n^4 (a + b\sqrt{e_n})$$

(3.6)

30

 $T_a$  は K で表した百葉箱の気温、 $e_a$  は同じ高さにおける水蒸気圧 (hPa)、a,b は定数で、日本では a=0.51、b=0.066 を用いることが多い。 地表面温度の代わりに気温を用いたときの長波放射収支  $R_b=R_{SC}-R_{AB}$  は式 (3.7) になる。

$$R_1 = \sigma T_n^4 (1 - a - b \sqrt{\rho_n})$$

地表から失われる長波放射は雲量に影響される。雲量による補正を加味した 有効長波放射  $(R_{\rm RL})$  は次の形になる (Budyko:内島訳 1956,内嶋・岩切訳 1973)。

新井正(2004): 『地域分析のための熱・水収支水文学』, 古今書院

## ○顕熱輸送量 (H)

#### 下記の式により、算出する

$$H = c_{pa} \cdot \rho_a \cdot C_D \cdot u(T_S - T_a)$$
  

$$LE = L \cdot \rho_a \cdot C_D \cdot u(q_S - q_a)$$

ここで、

H : 顕熱輸送量(W/m²) LE : 潜熱輸送量(W/m²)

 $c_{pa}$ : 空気の比熱(J/kg/ $^{\circ}$ C)【固定値:1005】

 $ho_a$ : 空気の密度(kg/m³)【1.293×(273.15/(気温+273.15))】

 $T_s$ : 地表(水面)の温度(°C))【計算上算出される河川水温】  $T_s$ : 気温(°C))【気象庁公表データより(井川地卢の2015年か

 $T_a$ :気温( $^{
m C}$ ) )【気象庁公表データより(井川地点の2015年から2024年の平均値(時期区分毎に変更)】

 $q_s$ : 地表(水面)の比湿(kg/kg)【別途計算】

 $q_a$ :空気中の比湿(kg/kg)【別途計算】

u: 風速(m/s) 【気象庁公表データより(井川地点の2015年から

2024年の平均値(時期区分毎に変更)】

C<sub>D</sub>: バルク係数【下表3.4より】 L:水の蒸発潜熱(J/kg)【別途計算】

	表 3.4 粗度高度	(20) およびバルク	係数 (C <sub>p</sub> )	
地表面の種類	租度高度 (cm)	バルク係数	基準高度 (m)	文献
水面		#2 0.0011	10	Garratt 1992
水面 (風速 5 m 以下)		0.0011~0.0012	10	近藤 1994 ほか
水面 (風速 5 m 以上)		0.0012 - 0.0013	10	近藤 1994ほか
沙漠	0.03	0.0020	2 2	Priestley 1959
当面	0.05-0.1	0.0015~0.003	2	近藤 1994 ほか
艺生*	0.2	0.0034	2	Priestley 1959
	0.7	0.005	2	Priestley 1959
	2.4	0.0085	2 2	Priestley 1959
	3.7	0.010	2	Priestley 1959
草丈が長い草地・	9.0	0.016	2	Priestley 1959

#### (3) バルク法による顕熱・潜熱輸送

式 (3.18) の各項目をバルク法で表すと、次のようになる。

HILL STAND OF CREATED AND A PERSON AND	20,
$H = c_p \rho_n C_D u (T_n - T_n)$	(3.19 a)
$LE = L\rho_0 C_0 u(q_0 - q_0)$	(3.19 b)
$r = \rho_n C_D u^2$	(3.19 c)

ここで、該字 s は地表面の値、 $T_a$  と  $q_a$  は風速測定高度における気温と比温である (図 3.2)。一般に  $C_b$  は  $10^{-3}$  のオーダーにあるが、風速と安定度により変化する。 $C_b$  のいくつかの例を表 3.4 に示した。水面の  $C_b$  は 0.001 ないし 0.0013 (ムいが一般的な値であるが、風速や安定度により変化し 0.002 近くになる (Garratt 1992、近難 1994、式 5.14)、草地や畑では 0.003 あるいは 0.004 程度で(Hartmann 1994)、穂波の状態により変化する。

気候学的な計算では平均風速を用い、 $C_0 \ge c_p \rho_A$ を含めて式 (3.20) のように熱伝連係数 (h) の形で表す場合が多い。

$$H = h(T_a - T_a) \tag{3.2}$$

日本における熱伝達係数(h)の平均的な値は、 $8.4\,\mathrm{Wm^{-2}\,K^{-1}}$  ( $2\times10^{-4}\,\mathrm{cal/cm^{\circ}\cdot sec\cdot }$ で)である(日本農業気象学会 1986)。しかし、この値は水面に対しては若干大きいと考えられる。水面における  $C_0$  を  $0.0012-0.0014\,\mathrm{cl.}$  平均風速をおよそ  $3\,\mathrm{m/s}$  と考えると、hは  $5\sim7\,\mathrm{Wm^{-2}\,K^{-1}}$  ( $1.2\,\mathrm{cv}$   $\cup$   $1.7\times10^{-4}\,\mathrm{cal/cm^{\circ}\cdot sec\cdot }$ で)にするのが適当と考えられる。

日本の内陸地域の気象観測露場の芝生の観測値から、Aとして次式が示されている(西沢 1966)。

 $h=(0.96+0.72u)\times 10^{-4}$  cal/cm²·sec·℃ (3.21) 内陸地域なので平均風速を2 m/s とすると、h の平均は $2.4\times 10^{-4}$  cal/cm²·sec·℃ となる。この値は $C_0$  としては0.0057 に相当するので、表3.4 の値との比較でも妥当である。熱伝達係数を固定することには問題があるが、気候学的な計算であれば、平均として8.0 Wm² Kr¹を用いても大きな誤差にはならないであろう。

バルク法で  $T_a$ となる真の地表面あるいは継載面温度の測定は簡単ではない が、放射温度計を用いればかなり近い値が得られる。水に関しても真の表面温度を得るのは困難で、普通の観測値はそれに近い値と見なしている。 雪では融 常期の雪温を 0°C とする場合が多いが、これも近似値である(第8章)。

潜熱輸送に関しても同様な簡略型が使われる。

新井正(2004): 『地域分析のための熱・水収支水文学』,古今書院

#### ○比湿の算出式

 $T_n$  は K で表した百葉籍の気温、 $e_n$  は同じ高さにおける水蒸気圧 (hPa)、a,bは定数で、日本ではa=0.51、b=0.066を用いることが多い。地表面温度の 代わりに気温を用いたときの長波放射収支  $R_1 = R_{SC} - R_{AB}$  は式 (3.7) になる。

$$R_{\rm L} = \sigma T_{\rm s}^{-4} (1 - a - b \sqrt{e_a})$$
 (3.7)

地表から失われる長波放射は雲量に影響される。雲量による補正を加味した 有効長波放射(Rat)は次の形になる (Budyko:内島駅 1956、内嶋・岩切駅

$$R_{EL} = R_L(1 - cn^2)$$
 (2)

nは雲量 (0-1), 係数 c は緯度により異なり, 50度で 0.72,40度で 0.68,30 度で0.63,20度で0.59である。式 (3.7) と式 (3.8) では、Taは Taに等し いと仮定している。そのため気温と地表面(水面,雪面,植被面)との温度差 が大きいときには誤差が生じる、この誤差の補正  $(\Delta R_L)$  は次式による。

$$\Delta R_L = 4 \sigma T_u^3 (T_s - T_u) \qquad (3.1)$$

(3.10)

#### (4) 正味放射

正味放射は以上の各項の精算値である。

$$R_N=(1-a)I-(R_{EL}+\Delta R_L)$$

ただし、気候学的計算では補正項(ΔRL)を省く場合が多い、熱収支や水文気 候では正味放射が大きな意味を持つ、なお、気候学的な計算では月平均、ある いは旬平均で扱うのが妥当である。

#### 2 温度・水蒸気の測定

#### 2.1 気温, 水蒸気

水蒸気量は乾湿計による測定が基本になるが、測定高度を一定にしておくこ とが重要である。蒸発や潜熱移動には水蒸気圧のままではなく、湿潤空気1 kg中の水蒸気の質量 (q: kg kg-1) である比湿を用いる。比湿は水蒸気圧 (e)から次の式で求める。

$$q = 0.622 \frac{e}{p - 0.378e} \simeq 0.622 \frac{e}{p}$$
 (3.11)

pは現場の気圧であるが、平地では近似的に 1000 hPa とすることが多い。係 数 0.622 は乾湿計の定数とよばれ、乾燥空気の分子量に対する水の分子量の比 である。なお比型をg/kgとして表すときには、この係数を622とする。

相対湿度から水蒸気量や水蒸気圧を推定することは好ましくないが、方法と しては空間関係で使われている空気線図を使うと便利である。これは日本農業 気象学会 (1997) のほか、空間関係の教科書に掲載されている。

#### 2.2 水温, 地温

最近では水深と水温とを同時に記録する各種のロガーも普及してきたが、基 本は水温計による読み取りである。湖沼の場合にはサーミスター温度計を用 い、深さ1mおきに測定することを標準とし、深層で水温変化が小さいとこ ろでは2ないし5mおきに測定する。変温層や表面の日変化が大きいところ では 0.5 m おき、あるいは 0.1 m おきの測定が必要になることもある。貯水 他では深層にも変温層ができることがあるので、注意しなければならない(新 井 2003).

地温もサーミスター温度計あるいはデータロガーで測定する。地温は深さ 40 cm~50 cm で日変化がほとんどなくなり、約10 m では年変化もほとんど 消える、温度変化が見られなくなる層を、恒温層あるいは不易層という。した がって、日変化を対象とするならば 50 cm 以浅を集中的に測定し、年変化を 対象にするのであれば、恒温層の上限まで測定する必要がある。恒温層の上限 以深の地温は地下水温に等しいと見なし、井戸水温を使う場合が多い(第7章 您丽)

#### 3 接地層の乱流交換

#### 3.1 風速観測とデータ整理

#### (1) 風速観測

地表面(水面,電面,植被面)では放射交換のほかに、熱と水の交換,さら に CO。などの物質交換が行われる。これらは地表面に接した大気の乱れによ って引き起こされるので、大気や水の乱れの程度を知らなければならない。現

新井正 (2004): 『地域分析のための熱・水収支水文学』, 古今書院

#### ○水の気化潜熱の近似式

**FAO Irrigation and Drainage Paper** No. 56 Crop Evapotranspiration (guidelines for computing crop water requirements) FAO, Water Resources, Development and Ma

Crop evapotranspiration Annex 3 Background on physical parameters used in evapotranspiration computations Latent Heat of Vaporization (λ)1  $\lambda = 2.501 - (2.361 \times 10^{-3}) \text{ T}$ (3-1)latent heat of vaporization [MJ kg<sup>-1</sup>] air temperature [ C]

The value of the latent heat varies only slightly over normal temperature ranges. A single value may be taken (for T = 20  $^{\circ}$ C):  $\lambda = 2.45$  MJ kg $^{-1}$ .

Allen, R. G., Pereira, L. S., Raes, D., & Smith, M. (1998). Crop evapotranspiration - Guidelines for computing crop water requirements (FAO Irrigation and Drainage Paper No. 56). Food and Agriculture Organization of the United Nations. p.223

# ○トンネル掘削完了後恒常時/推定地点: 椹島でのパラメータ 【JR 東海モデル】

項目	値	備考
時期区分	時期区分①(1月~3月想定)	
トンネル湧水水温(°C)	24.5/21.9	想定地温勾配最高ケース (水温最高) /平均水温ケース
トンネル湧水量(m3/s)	3.1	JR東海モデルの解析結果
流入河川水温(°C)	2.6	2024年の椹島での実測値(1月~3月の平均値)
河川流量 (トンネル掘削の影響を考慮した推定値) (m3/s)	1.0	JR東海モデルを活用した推定値
支流等からの流入量(m3/s)	9.7	畑薙第一ダム流入量から椹島での河川流量を差し引くことで、流量増加量を算出(2023年1月~3月の実測平均値)。 算出した流量増加量を、合流する沢の流域面積に応じて按分し、合流する格子に流入させることとした。
水深 (m)	0.2	椹島実測流量で0.948m3/sの時の水深(2023年2月)
メッシュ幅(m)	15	椹島実測流量で0.948m3/sの時の川幅(2023年2月)
メッシュ数	138	固定値
メッシュ長さ(m)	100	固定値
合計全天日射量(MJ/㎡)_静岡	13.1	気象庁公開データより(2015年~2024年の平均値(時期区分毎))
平均蒸気圧(hPa)_井川	7.8	気象庁公開データより(2015年~2024年の平均値(時期区分毎))
平均湿度(%)_井川	71.5	気象庁公開データより(2015年~2024年の平均値(時期区分毎))
平均風速(m/s)_井川	1.0	気象庁公開データより(2015年~2024年の平均値(時期区分毎))
平均気温(℃)_井川	3.2	気象庁公開データより(2015年~2024年の平均値(時期区分毎))
飽和水蒸気圧_気温(hPa)	7.7	計算値
大気温度での水蒸気圧 [hPa]	5.5	計算値
大気の比湿 [-]	0.003	計算値
大気の放射率	0.66	計算値
水の放射率	0.95	固定値
アルベド (-)	0.0700	固定値
バルク輸送係数Cd	0.0011	固定値(風速で変化)
ステファン・ボルツマン定数(W/m²/K^4)	5.670.E-08	固定値
空気の密度 [kg/m³]	1.278	計算値
空気の定圧比熱 [J/(kg·K)]	1005.0	固定値
水の密度 [kg/m³]	1000.0	固定値
水の比熱 [J/(kg·°C)]	4184.0	固定値

**<sup>|</sup>** 解析モデルの違いによって変わるパラメータ

## ○トンネル掘削完了後恒常時/推定地点: 椹島でのパラメータ

## 【静岡市モデル (薬液注入なし)】

項目	値	備考
時期区分	時期区分①(1月~3月想定)	
トンネル湧水水温(°C)	24.8/22.0	想定地温勾配最高ケース (水温最高) /平均水温ケース
トンネル湧水量(m3/s)	1.8	静岡市モデル(薬注なし)の解析結果
流入河川水温(°C)	2.6	2024年の椹島での実測値(1月~3月の平均値)
河川流量 (トンネル掘削の影響を考慮した推定値) (m3/s)	1.4	静岡市モデル(薬注なし)を活用した推定値
支流等からの流入量(m3/s)	9.7	畑薙第一ダム流入量から椹島での河川流量を差し引くことで、流量増加量を算出(2023年1月~3月の実測平均値)。 算出した流量増加量を、合流する沢の流域面積に応じて按分し、合流する格子に流入させることとした。
水深 (m)	0.3	椹島実測流量で1.359m3/sの時の水深(2024年8月)
メッシュ幅(m)	13	椹島実測流量で1.359m3/sの時の川幅(2024年8月)
メッシュ数	138	固定値
メッシュ長さ(m)	100	固定値
合計全天日射量(MJ/㎡)_静岡	13.1	気象庁公開データより(2015年~2024年の平均値(時期区分毎))
平均蒸気圧(hPa)_井川	7.8	気象庁公開データより(2015年~2024年の平均値(時期区分毎))
平均湿度(%)_井川	71.5	気象庁公開データより(2015年~2024年の平均値(時期区分毎))
平均風速(m/s)_井川	1.0	気象庁公開データより(2015年~2024年の平均値(時期区分毎))
平均気温(°C)_井川	3.2	気象庁公開データより(2015年~2024年の平均値(時期区分毎))
飽和水蒸気圧_気温(hPa)	7.7	計算値
大気温度での水蒸気圧 [hPa]	5.5	計算値
大気の比湿 [-]	0.003	計算値
大気の放射率	0.66	計算値
水の放射率	0.95	固定値
アルベド (-)	0.0700	固定値
バルク輸送係数Cd	0.0011	固定値(風速で変化)
ステファン・ボルツマン定数(W/m²/K^4)	5.670.E-08	固定値
空気の密度 [kg/m³]	1.278	計算値
空気の定圧比熱 [J/(kg·K)]	1005.0	固定値
水の密度 [kg/m³]	1000.0	固定値
水の比熱 [J/(kg·°C)]	4184.0	固定値

<sup>|</sup> 解析モデルの違いによって変わるパラメータ

# ○トンネル掘削完了後恒常時/推定地点: 椹島でのパラメータ 【静岡市モデル(薬液注入あり)】

項目	値	備考
時期区分	時期区分①(1月~3月想定)	
トンネル湧水水温(°C)	24.1/21.5	想定地温勾配最高ケース(水温最高)/平均水温ケース
トンネル湧水量(m3/s)	0,6	静岡市モデル(薬注あり)の解析結果
流入河川水温(°C)	2.6	2024年の椹島での実測値(1月~3月の平均値)
河川流量 (トンネル掘削の影響を考慮した推定値) (m3/s)	1.7	静岡市モデル(薬注あり)を活用した推定値
支流等からの流入量(m3/s)	9.7	畑薙第一ダム流入量から椹島での河川流量を差し引くことで、流量増加量を算出(2023年1月~3月の実測平均値)。 算出した流量増加量を、合流する沢の流域面積に応じて按分し、合流する格子に流入させることとした。
水深 (m)	0.3	椹島実測流量で1.712m3/sの時の水深(2023年11月)
メッシュ幅(m)	16	椹島実測流量で1.712m3/sの時の川幅(2023年11月)
メッシュ数	138	固定値
メッシュ長さ(m)	100	固定値
合計全天日射量(MJ/㎡)_静岡	13.1	気象庁公開データより(2015年~2024年の平均値(時期区分毎))
平均蒸気圧(hPa)_井川	7.8	気象庁公開データより(2015年~2024年の平均値(時期区分毎))
平均湿度(%)_井川	71.5	気象庁公開データより(2015年~2024年の平均値(時期区分毎))
平均風速(m/s)_井川	1.0	気象庁公開データより(2015年~2024年の平均値(時期区分毎))
平均気温(℃)_井川	3.2	気象庁公開データより(2015年~2024年の平均値(時期区分毎))
飽和水蒸気圧_気温(hPa)	7.7	計算値
大気温度での水蒸気圧 [hPa]	5.5	計算値
大気の比湿 [-]	0.003	計算値
大気の放射率	0.66	計算値
水の放射率	0.95	固定値
アルベド (-)	0.0700	固定値
バルク輸送係数Cd	0.0011	固定値(風速で変化)
ステファン・ボルツマン定数(W/m²/K^4)	5.670.E-08	固定値
空気の密度 [kg/m³]	1.278	計算値
空気の定圧比熱 [J/(kg·K)]	1005.0	固定値
水の密度 [kg/m³]	1000.0	固定値
水の比熱 [J/(kg·°C)]	4184.0	固定値

<sup>|</sup> 解析モデルの違いによって変わるパラメータ

## ○西俣からの放流最大時/推定地点:西俣でのパラメータ

# 【JR 東海モデル】

項目	値	備考
時期区分	時期区分①(1月~3月想定)	
トンネル湧水水温(°C)	28.2/23.8	想定地温勾配最高ケース (水温最高) /平均水温ケース
トンネル湧水量(m3/s)	0.7	JR東海モデルの解析結果
流入河川水温 (℃)	2.6	2024年の西俣での実測値(1月~3月の平均値)
河川流量 (トンネル掘削の影響を考慮した推定値) (m3/s)	1.2	JR東海モデルを活用した推定値
支流等からの流入量(m3/s)	2.7	田代ダム(取水前)から西俣での河川流量を差し引くことで、流量増加量を算出(2020年~2023年の1月~3月の実測平均値)。算出した流量増加量を、合流する沢の流域面積に応じて按分し、合流する格子に流入させることとした。
水深 ( <b>m)</b>	0.5	西俣実測流量で1.23m3/sの時の水深(2024年10月)
メッシュ幅( <b>m)</b>	9.2	西俣実測流量で1.23m3/sの時の川幅(2024年10月)
メッシュ数	37	固定値
メッシュ長さ(m)	100	固定値
合計全天日射量(MJ/m)_静岡	13.1	気象庁公開データより(2015年~2024年の平均値(時期区分毎))
平均蒸気圧(hPa)_井川	7.8	気象庁公開データより(2015年~2024年の平均値(時期区分毎))
平均湿度(%)_井川	71.5	気象庁公開データより(2015年~2024年の平均値(時期区分毎))
平均風速(m/s)_井川	1.0	気象庁公開データより(2015年~2024年の平均値(時期区分毎))
平均気温(℃)_井川	3.2	気象庁公開データより(2015年~2024年の平均値(時期区分毎))
飽和水蒸気圧_気温(hPa)	7.7	計算値
大気温度での水蒸気圧 [hPa]	5.5	計算値
大気の比湿 [-]	0.003	計算値
大気の放射率	0.66	計算値
水の放射率	0.95	固定値
アルベド (-)	0.0700	固定値
バルク輸送係数Cd	0.0011	固定値(風速で変化)
ステファン・ボルツマン定数(W/m²/K^4)	5.670.E-08	固定値
空気の密度 [kg/m³]	1.278	計算値
空気の定圧比熱 [J/(kg·K)]	1005.0	固定値
水の密度 [kg/m³]	1000.0	固定値
水の比熱 [J/(kg·°C)]	4184.0	固定値

<sup>──</sup> 解析モデルの違いによって変わるパラメータ

## ○西俣からの放流最大時/推定地点:西俣でのパラメータ

## 【静岡市モデル (薬液注入なし)】

項目	値	備考
時期区分	時期区分①(1月~3月想定)	
トンネル湧水水温(°C)	23.5/21.4	想定地温勾配最高ケース (水温最高) /平均水温ケース
トンネル湧水量(m3/s)	0.5	静岡市モデル(薬注なし)の解析結果
流入河川水温 (°C)	2.6	2024年の西俣での実測値(1月~3月の平均値)
河川流量 (トンネル掘削の影響を考慮した推定値) (m3/s)	1.2	静岡市モデル(薬注なし)を活用した推定値
支流等からの流入量(m3/s)	2.7	田代ダム(取水前)から西俣での河川流量を差し引くことで、流量増加量を算出(2020年~2023年の1月~3月の実測平均値)。算出した流量増加量を、合流する沢の流域面積に応じて按分し、合流する格子に流入させることとした。
水深 ( <b>m</b> )	0.5	西俣実測流量で1.23m3/sの時の水深(2024年10月)
メッシュ幅( <b>m)</b>	9.2	西俣実測流量で1.23m3/sの時の川幅(2024年10月)
メッシュ数	37	固定値
メッシュ長さ(m)	100	固定値
合計全天日射量(MJ/㎡)_静岡	13.1	気象庁公開データより(2015年~2024年の平均値(時期区分毎))
平均蒸気圧(hPa)_井川	7.8	気象庁公開データより(2015年~2024年の平均値(時期区分毎))
平均湿度(%)_井川	71.5	気象庁公開データより(2015年~2024年の平均値(時期区分毎))
平均風速( <b>m/s)_</b> 井川	1.0	気象庁公開データより(2015年~2024年の平均値(時期区分毎))
平均気温(℃)_井川	3.2	気象庁公開データより(2015年~2024年の平均値(時期区分毎))
飽和水蒸気圧_気温(hPa)	7.7	計算値
大気温度での水蒸気圧 [hPa]	5.5	計算値
大気の比湿 [-]	0.003	計算値
大気の放射率	0.66	計算値
水の放射率	0.95	固定値
アルベド (-)	0.0700	固定値
バルク輸送係数Cd	0.0011	固定値(風速で変化)
ステファン・ポルツマン定数(W/m²/K^4)	5.670.E-08	固定値
空気の密度 [kg/m³]	1.278	計算値
空気の定圧比熱 [J/(kg·K)]	1005.0	固定値
水の密度 [kg/m³]	1000.0	固定値
水の比熱 [J/(kg·°C)]	4184.0	固定値

<sup>──</sup> 解析モデルの違いによって変わるパラメータ

## ○西俣からの放流最大時/推定地点:西俣でのパラメータ

## 【静岡市モデル(薬液注入あり)】

項目	値	備考
時期区分	時期区分①(1月~3月想定)	
トンネル湧水水温(°C)	24.1/21.6	想定地温勾配最高ケース (水温最高) /平均水温ケース
トンネル湧水量(m3/s)	0.1	静岡市モデル(薬注あり)の解析結果
流入河川水温(℃)	2.6	2024年の西俣での実測値(1月~3月の平均値)
河川流量 (トンネル掘削の影響を考慮した推定値) (m3/s)	1.3	静岡市モデル(薬注あり)を活用した推定値
支流等からの流入量(m3/s)	2.7	田代ダム(取水前)から西俣での河川流量を差し引くことで、流量増加量を算出(2020年~2023年の1月~3月の実測平均値)。算出した流量増加量を、合流する沢の流域面積に応じて按分し、合流する格子に流入させることとした。
水深 ( <b>m</b> )	0.5	西俣実測流量で1.23m3/sの時の水深(2024年10月)
メッシュ幅( <b>m)</b>	9.2	西俣実測流量で1.23m3/sの時の川幅(2024年10月)
メッシュ数	37	固定値
メッシュ長さ(m)	100	固定値
合計全天日射量(MJ/m)_静岡	13.1	気象庁公開データより(2015年~2024年の平均値(時期区分毎))
平均蒸気圧( <b>hPa)_</b> 井川	7.8	気象庁公開データより(2015年~2024年の平均値(時期区分毎))
平均湿度(%)_井川	71.5	気象庁公開データより(2015年~2024年の平均値(時期区分毎))
平均風速(m/s)_井川	1.0	気象庁公開データより(2015年~2024年の平均値(時期区分毎))
平均気温(℃)_井川	3.2	気象庁公開データより(2015年~2024年の平均値(時期区分毎))
飽和水蒸気圧_気温(hPa)	7.7	計算値
大気温度での水蒸気圧 [hPa]	5.5	計算値
大気の比湿 [-]	0.003	計算値
大気の放射率	0.66	計算値
水の放射率	0.95	固定値
アルベド (-)	0.0700	固定値
バルク輸送係数Cd	0.0011	固定値(風速で変化)
ステファン・ボルツマン定数(W/m²/K^4)	5.670.E-08	固定値
空気の密度 [kg/m³]	1.278	計算値
空気の定圧比熱 [J/(kg·K)]	1005.0	固定値
水の密度 [kg/m³]	1000.0	固定値
水の比熱 [J/(kg·°C)]	4184.0	固定値

<sup>|</sup> 解析モデルの違いによって変わるパラメータ

## ○千石からの放流最大時/推定地点:千石でのパラメータ

# 【JR 東海モデル】

項目	値	備考
時期区分	時期区分①(1月~3月想定)	
トンネル湧水水温(°C)	21.3/19.7	最高水温ケース (水温最高) /平均水温ケース
トンネル湧水量(m3/s)	0.6	JR東海モデルの解析結果
流入河川水温(℃)	2.8	2024年の千石での実測値(1月~3月の平均値)
河川流量 (トンネル掘削の影響を考慮した推定値) (m3/s)	1.5	JR東海モデルを活用した推定値
支流等からの流入量(m3/s)	2.7	木賊堰堤での河川流量から田代ダム(取水後)での河川流量を差し引くことで、流量増加量を算出(2020年~2023年の1月~3月の実測平均値)。算出した流量増加量を、合流する沢の流域面積に応じて按分し、千石より下流で合流する沢について、合流する格子に流入させることとした。
水深 (m)	0.3	千石実測流量で1.69m3/sの時の水深(2023年9月)
メッシュ幅( <b>m</b> )	10	千石実測流量で1.69m3/sの時の川幅(2023年9月)
メッシュ数	65	固定値
メッシュ長さ(m)	100	固定値
合計全天日射量(MJ/m)_静岡	13.1	気象庁公開データより(2015年~2024年の平均値(時期区分毎))
平均蒸気圧( <b>hPa)_</b> 井川	7.8	気象庁公開データより(2015年~2024年の平均値(時期区分毎))
平均湿度(%)_井川	71.5	気象庁公開データより(2015年~2024年の平均値(時期区分毎))
平均風速( <b>m/s)_</b> 井川	1.0	気象庁公開データより(2015年~2024年の平均値(時期区分毎))
平均気温(℃)_井川	3.2	気象庁公開データより(2015年~2024年の平均値(時期区分毎))
飽和水蒸気圧_気温(hPa)	7.7	計算値
大気温度での水蒸気圧 [hPa]	5.5	計算値
大気の比湿 [-]	0.003	計算値
大気の放射率	0.66	計算値
水の放射率	0.95	固定値
アルベド (-)	0.0700	固定値
バルク輸送係数Cd	0.0011	固定値(風速で変化)
ステファン・ボルツマン定数(W/m²/K^4)	5.670.E-08	固定値
空気の密度 [kg/m³]	1.278	計算値
空気の定圧比熱 [J/(kg·K)]	1005.0	固定値
水の密度 [kg/m³]	1000.0	固定値
水の比熱 [J/(kg·°C)]	4184.0	固定値

M析モデルの違いによって変わるパラメータ

## ○千石からの放流最大時/推定地点:千石でのパラメータ

## 【静岡市モデル (薬液注入なし)】

項目	値	備考
時期区分	時期区分①(1月~3月想定)	
トンネル湧水水温(°C)	19.1/17.5	最高水温ケース (水温最高) /平均水温ケース
トンネル湧水量(m3/s)	0.5	静岡市モデル(薬注なし)の解析結果
流入河川水温(℃)	2.8	2024年の千石での実測値(1月~3月の平均値)
河川流量 (トンネル掘削の影響を考慮した推定値) (m3/s)	1.5	静岡市モデル(薬注なし)を活用した推定値
支流等からの流入量(m3/s)	2.7	木賊堰堤での河川流量から田代ダム(取水後)での河川流量を差し引くことで、流量増加量を算出(2020年~2023年の1月~3月の実測平均値)。算出した流量増加量を、合流する沢の流域面積に応じて按分し、千石より下流で合流する沢について、合流する格子に流入させることとした。
水深 ( <b>m</b> )	0.3	千石実測流量で1.69m3/sの時の水深(2023年9月)
メッシュ幅( <b>m)</b>	10	千石実測流量で1.69m3/sの時の川幅(2023年9月)
メッシュ数	65	固定値
メッシュ長さ(m)	100	固定値
合計全天日射量(MJ/m)_静岡	13.1	気象庁公開データより(2015年~2024年の平均値(時期区分毎))
平均蒸気圧(hPa)_井川	7.8	気象庁公開データより(2015年~2024年の平均値(時期区分毎))
平均湿度(%)_井川	71.5	気象庁公開データより(2015年~2024年の平均値(時期区分毎))
平均風速( <b>m/s</b> )_井川	1.0	気象庁公開データより(2015年~2024年の平均値(時期区分毎))
平均気温(℃)_井川	3.2	気象庁公開データより(2015年~2024年の平均値(時期区分毎))
飽和水蒸気圧_気温(hPa)	7.7	計算値
大気温度での水蒸気圧 [hPa]	5.5	計算値
大気の比湿 [-]	0.003	計算値
大気の放射率	0.66	計算値
水の放射率	0.95	固定値
アルベド (-)	0.0700	固定値
バルク輸送係数Cd	0.0011	固定値(風速で変化)
ステファン・ボルツマン定数(W/m²/K^4)	5.670.E-08	固定値
空気の密度 [kg/m³]	1.278	計算値
空気の定圧比熱 [J/(kg·K)]	1005.0	固定値
水の密度 [kg/m³]	1000.0	固定値
水の比熱 [J/(kg·°C)]	4184.0	固定値

<sup>──</sup> 解析モデルの違いによって変わるパラメータ

# ○千石からの放流最大時/推定地点:千石でのパラメータ 【静岡市モデル(薬液注入あり)】

項目	値	備考
時期区分	時期区分①(1月~3月想定)	
トンネル湧水水温(°C)	19.2/17.6	最高水温ケース (水温最高) /平均水温ケース
トンネル湧水量(m3/s)	0.2	静岡市モデル(薬注あり)の解析結果
流入河川水温(℃)	2.8	2024年の西俣での実測値(1月~3月の平均値)
河川流量 (トンネル掘削の影響を考慮した推定値) (m3/s)	1.8	静岡市モデル(薬注あり)を活用した推定値
支流等からの流入量(m3/s)	2.7	木賊堰堤での河川流量から田代ダム(取水後)での河川流量を差し引くことで、流量増加量を算出(2020年~2023年の1月~3月の実測平均値)。算出した流量増加量を、合流する沢の流域面積に応じて按分し、千石より下流で合流する沢について、合流する格子に流入させることとした。
水深 (m)	0.3	千石実測流量で1.77m3/sの時の水深(2023年7月)
メッシュ幅(m)	12	千石実測流量で1.77m3/sの時の川幅(2023年7月)
メッシュ数	65	固定値
メッシュ長さ(m)	100	固定値
合計全天日射量(MJ/㎡)_静岡	13.1	気象庁公開データより(2015年~2024年の平均値(時期区分毎))
平均蒸気圧(hPa)_井川	7.8	気象庁公開データより(2015年~2024年の平均値(時期区分毎))
平均湿度(%)_井川	71.5	気象庁公開データより(2015年~2024年の平均値(時期区分毎))
平均風速(m/s)_井川	1.0	気象庁公開データより(2015年~2024年の平均値(時期区分毎))
平均気温(℃)_井川	3.2	気象庁公開データより(2015年~2024年の平均値(時期区分毎))
飽和水蒸気圧_気温(hPa)	7.7	計算値
大気温度での水蒸気圧 [hPa]	5.5	計算値
大気の比湿 [-]	0.003	計算値
大気の放射率	0.66	計算値
水の放射率	0.95	固定値
アルベド (-)	0.0700	固定値
バルク輸送係数Cd	0.0011	固定値(風速で変化)
ステファン・ボルツマン定数(W/m²/K^4)	5.670.E-08	固定値
空気の密度 [kg/m³]	1.278	計算値
空気の定圧比熱 [J/(kg·K)]	1005.0	固定値
水の密度 [kg/m³]	1000.0	固定値
水の比熱 [J/(kg·°C)]	4184.0	固定値

解析モデルの違いによって変わるパラメータ

## ○椹島からの放流最大時/推定地点:椹島でのパラメータ

# 【JR 東海モデル】

項目	値	備考
時期区分	時期区分①(1月~3月想定)	
トンネル湧水水温(°C)	24.7/21.9	想定地温勾配最高ケース(水温最高)/平均水温ケース
トンネル湧水量(m3/s)	3.4	JR東海モデルの解析結果
流入河川水温(°C)	2.6	2024年の椹島での実測値(1月~3月の平均値)
河川流量 (トンネル掘削の影響を考慮した推定値) (m3/s)	1.0	JR東海モデルを活用した推定値
支流等からの流入量(m3/s)	9.7	畑薙第一ダム流入量から椹島での河川流量を差し引くことで、流量増加量を算出(2023年1月~3月の実測平均値)。 算出した流量増加量を、合流する沢の流域面積に応じて按分し、合流する格子に流入させることとした。
水深 (m)	0.2	椹島実測流量で0.948m3/sの時の水深(2023年2月)
メッシュ幅(m)	15	椹島実測流量で0.948m3/sの時の川幅(2023年2月)
メッシュ数	138	固定値
メッシュ長さ(m)	100	固定値
合計全天日射量(MJ/㎡)_静岡	13.1	気象庁公開データより(2015年~2024年の平均値(時期区分毎))
平均蒸気圧(hPa)_井川	7.8	気象庁公開データより(2015年~2024年の平均値(時期区分毎))
平均湿度(%)_井川	71.5	気象庁公開データより(2015年~2024年の平均値(時期区分毎))
平均風速(m/s)_井川	1.0	気象庁公開データより(2015年~2024年の平均値(時期区分毎))
平均気温(℃)_井川	3.2	気象庁公開データより(2015年~2024年の平均値(時期区分毎))
飽和水蒸気圧_気温(hPa)	7.7	計算値
大気温度での水蒸気圧 [hPa]	5.5	計算値
大気の比湿 [-]	0.003	計算値
大気の放射率	0.66	計算値
水の放射率	0.95	固定値
アルベド (-)	0.0700	固定値
バルク輸送係数Cd	0.0011	固定値(風速で変化)
ステファン・ボルツマン定数(W/m²/K^4)	5.670.E-08	固定値
空気の密度 [kg/m³]	1.278	計算値
空気の定圧比熱 [J/(kg·K)]	1005.0	固定値
水の密度 [kg/m³]	1000.0	固定値
水の比熱 [J/(kg·°C)]	4184.0	固定値

<sup>|</sup> 解析モデルの違いによって変わるパラメータ

## ○椹島からの放流最大時/推定地点:椹島でのパラメータ

## 【静岡市モデル(薬液注入なし)】

項目	値	備考
時期区分	時期区分①(1月~3月想定)	
トンネル湧水水温(°C)	24.7/22.0	想定地温勾配最高ケース(水温最高)/平均水温ケース
トンネル湧水量(m3/s)	1.9	静岡市モデル(薬注なし)の解析結果
流入河川水温(°C)	2.6	2024年の椹島での実測値(1月~3月の平均値)
河川流量 (トンネル掘削の影響を考慮した推定値) (m3/s)	1.4	静岡市モデル(薬注なし)を活用した推定値
支流等からの流入量(m3/s)	9.7	畑薙第一ダム流入量から椹島での河川流量を差し引くことで、流量増加量を算出(2023年1月~3月の実測平均値)。 算出した流量増加量を、合流する沢の流域面積に応じて按分し、合流する格子に流入させることとした。
水深 (m)	0.3	椹島実測流量で1.359m3/sの時の水深(2024年8月)
メッシュ幅(m)	13	椹島実測流量で1.359m3/sの時の川幅(2024年8月)
メッシュ数	138	固定値
メッシュ長さ(m)	100	固定値
合計全天日射量(MJ/㎡)_静岡	13.1	気象庁公開データより(2015年~2024年の平均値(時期区分毎))
平均蒸気圧(hPa)_井川	7.8	気象庁公開データより(2015年~2024年の平均値(時期区分毎))
平均湿度(%)_井川	71.5	気象庁公開データより(2015年~2024年の平均値(時期区分毎))
平均風速(m/s)_井川	1.0	気象庁公開データより(2015年~2024年の平均値(時期区分毎))
平均気温(°C)_井川	3.2	気象庁公開データより(2015年~2024年の平均値(時期区分毎))
飽和水蒸気圧_気温(hPa)	7.7	計算値
大気温度での水蒸気圧 [hPa]	5.5	計算値
大気の比湿 [-]	0.003	計算値
大気の放射率	0.66	計算値
水の放射率	0.95	固定値
アルベド (-)	0.0700	固定値
バルク輸送係数Cd	0.0011	固定値(風速で変化)
ステファン・ボルツマン定数(W/m²/K^4)	5.670.E-08	固定値
空気の密度 [kg/m³]	1.278	計算値
空気の定圧比熱 [J/(kg·K)]	1005.0	固定値
水の密度 [kg/m³]	1000.0	固定値
水の比熱 [J/(kg·°C)]	4184.0	固定値

解析モデルの違いによって変わるパラメータ

# ○椹島からの放流最大時/推定地点:椹島でのパラメータ 【静岡市モデル(薬液注入あり)】

項目	値	備考
時期区分	時期区分①(1月~3月想定)	
トンネル湧水水温(°C)	24.1/21.5	想定地温勾配最高ケース (水温最高) /平均水温ケース
トンネル湧水量(m3/s)	0.6	静岡市モデル(薬注あり)の解析結果
流入河川水温(°C)	2.6	2024年の椹島での実測値(1月~3月の平均値)
河川流量 (トンネル掘削の影響を考慮した推定値) (m3/s)	1.7	静岡市モデル(薬注あり)を活用した推定値
支流等からの流入量(m3/s)	9.7	畑薙第一ダム流入量から椹島での河川流量を差し引くことで、流量増加量を算出(2023年1月~3月の実測平均値)。 算出した流量増加量を、合流する沢の流域面積に応じて按分し、合流する格子に流入させることとした。
水深 (m)	0.3	椹島実測流量で1.712m3/sの時の水深(2023年11月)
メッシュ幅(m)	16	椹島実測流量で1.712m3/sの時の川幅(2023年11月)
メッシュ数	138	固定値
メッシュ長さ(m)	100	固定値
合計全天日射量(MJ/㎡)_静岡	13.1	気象庁公開データより(2015年~2024年の平均値(時期区分毎))
平均蒸気圧(hPa)_井川	7.8	気象庁公開データより(2015年~2024年の平均値(時期区分毎))
平均湿度(%)_井川	71.5	気象庁公開データより(2015年~2024年の平均値(時期区分毎))
平均風速(m/s)_井川	1.0	気象庁公開データより(2015年~2024年の平均値(時期区分毎))
平均気温(°C)_井川	3.2	気象庁公開データより(2015年~2024年の平均値(時期区分毎))
飽和水蒸気圧_気温(hPa)	7.7	計算値
大気温度での水蒸気圧 [hPa]	5.5	計算値
大気の比湿 [-]	0.003	計算値
大気の放射率	0.66	計算値
水の放射率	0.95	固定値
アルベド (-)	0.0700	固定値
バルク輸送係数Cd	0.0011	固定値(風速で変化)
ステファン・ボルツマン定数(W/m²/K^4)	5.670.E-08	固定値
空気の密度 [kg/m³]	1.278	計算値
空気の定圧比熱 [J/(kg·K)]	1005.0	固定値
水の密度 [kg/m³]	1000.0	固定値
水の比熱 [J/(kg·°C)]	4184.0	固定値

<sup>■</sup> 解析モデルの違いによって変わるパラメータ